

T.C.  
YÜZUNCÜ YIL ÜNİVERSİTESİ  
SAĞLIK BİLİMLERİ ENSTİTÜSÜ

**VİTAMİN E'NİN HİPOTERMİK KOBAYLarda EKG, SERUM  
LİPİT PEROKSİDASYONU VE ANTİOKSİDAN ENZİM  
DÜZEYLERİ ÜZERİNE ETKİSİ**

Veteriner Hekim Leyla ASLAN  
FİZYOLOJİ ANABİLİM DALI  
YÜKSEK LİSANS TEZİ

DANIŞMAN  
Doç. Dr. İsmail MERAL

VAN - 2004

T.C.  
YÜZUNCÜ YIL ÜNİVERSİTESİ  
SAĞLIK BİLİMLERİ ENSTİTÜSÜ

**VİTAMİN E'NİN HİPOTERMİK KOBAYLarda EKG, SERUM  
LİPİT PEROKSİDASYONU VE ANTİOKSİDAN ENZİM  
DÜZEYLERİ ÜZERİNE ETKİSİ**

Veteriner Hekim Leyla ASLAN  
FİZYOLOJİ ANABİLİM DALI  
YÜKSEK LİSANS TEZİ

DANIŞMAN  
Doç. Dr. İsmail MERAL

VAN-2004

Bu araştırma, Yüzüncü Yıl Üniversitesi Bilimsel Araştırma Projeleri Başkanlığı tarafından 2001-VF-010 numaralı proje olarak desteklenmiştir.

T.C.  
YÜZUNCÜ YIL ÜNİVERSİTESİ  
SAĞLIK BİLİMLERİ ENSTİTÜSÜ

VİTAMİN E'NİN HİPOTERMİK KOBAYLarda EKG, SERUM LİPİT  
PEROKSİDASYONU VE ANTİOKSİDAN ENZİM DÜZEYLERİ ÜZERİNE ETKİSİ

Veteriner Hekim Leyla ASLAN  
FİZYOLOJİ ANABİLİM DALI  
YÜKSEK LİSANS TEZİ

Prof. Dr. Nihat MERT

Doç. Dr. Ferda BELGE

Doç. Dr. İsmail MERAL

TEZ KABUL TARİHİ

27/02/2004

## TEŞEKKÜR

Yüksek Lisans eğitimim süresince yoğun çalışmalarına rağmen benden destegini hiçbir zaman esirgemeyen danışman hocam Doç. Dr. İsmail MERAL'e, katkılarından dolayı anabilim dalı başkanımız Doç. Dr. Ferda BELGE'ye, tezimin deney aşamasındaki yardımlarından dolayı Prof. Dr. Ali BELGE'ye, çalışmalarım sırasında benden hiçbir yardımı esirgemeyen Araş. Gör. İnci DOĞAN, Kimyager Semih YAŞAR ve anabilim dalımızda bulunan diğer değerli Öğretim Üyelerine teşekkürlerimi sunmayı bir borç bilirim. Ayrıca hiçbir zaman sevgi ve desteklerini benden esirgemeyen anne ve babama özel saygı ve şükranları sunuyorum.



## İÇİNDEKİLER

Kabul ve Onay.....	III
Teşekkür .....	IV
İçindekiler.....	V
Simgeler ve Kısaltmalar.....	VII
Şekiller Listesi.....	VIII
Tablolar Listesi.....	IX
1. GİRİŞ.....	1
2. GENEL BİLGİLER.....	2
2.1. Hipotermi.....	2
2.1.1. Hipoterminin çeşitleri.....	2
2.1.2. Hipoterminin patofizyolojisi.....	3
2.2. Elektrokardiyografi.....	5
2.3. Serbest Radikaller.....	6
2.4. Antioksidanlar.....	7
2.4.1. Enzimatik savunma sistemi.....	8
2.4.1.1. Glutatyon peroksidaz.....	8
2.4.1.2. Süperoksit dismutaz.....	10
2.4.2. Enzimatik olmayan savunma sistemi.....	11
2.4.2.1. Glutatyon.....	11
2.4.2.2. Vitamin E ( $\alpha$ -Tokoferol).....	12
3. MATERİYAL VE METOT.....	16
3.1. Materyal.....	16
3.1.1. Canlı materyal.....	16
3.1.2. Kullanılan alet ve malzemeler.....	16
3.1.3. Kullanılan kimyasal maddeler.....	17
3.2. Metot.....	18
3.2.1. Grupların oluşturulması.....	18
3.2.2. EKG çekimi.....	18
3.2.3. Kan örneklerinin alınması ve analizler.....	19
3.2.3.1. GSH tayini.....	19

3.2.3.2. MDA tayini.....	20
3.2.3.3. SOD enzim tayini.....	21
3.2.3.4. GSH-Px enzim tayini.....	24
3.2.3.5. Vitamin E tayini.....	25
3.2.4. İstatistiksel Analiz.....	27
4. BULGULAR.....	28
5. TARTIŞMA VE SONUÇ.....	36
ÖZET.....	40
SUMMARY.....	41
KAYNAKLAR.....	42
ÖZGEÇMİŞ.....	48

## **SİMGELER VE KISALTMALAR**

ADH	: Antidiüretik Hormon
BHT	: Bütilenmiş Hidroksi Toluen
dl	: Desilitre
EDTA	: Etilendiamin Tetra Asetik Asit
EKG	: Elektrokardiyografi
GR	: Glutatyon Redüktaz
GSH	: Redükte Glutatyon
GSH-Px	: Glutatyon Peroksidaz
GSSG	: Okside Glutatyon
G-6-PD	: Glukoz 6 Fosfat Dehidrogenaz
H <sup>+</sup>	: Hidrojen iyonu
IU	: İnternasyonal Ünite
MDA	: Malondialdehit
Mmol	: Milimol
µmol	: Mikromol
NADP	: Nikotinamid Dinükleotid Fosfat
NADPH	: Redükte Nikotinamid Adenin Dinükleotid Fosfat
nm	: Nanometre
OH <sup>-</sup>	: Hidroksil
O <sub>2</sub> <sup>-</sup>	: Süperoksit
ppm	: Per Percent Milion
SOD	: Süperoksit Dismutaz
TBA	: Tiyobarbüтирlik Asit
TCA	: Triklorasetik Asit
U	: Ünite

## **ŞEKİLLER**

Şekil 1. $\alpha$ -Tokoferol (5,7,8- trimetil tokol) .....	12
Şekil 2. K, H ve Vit E+H kobaylarının tipik II. derivasyon bulguları .....	28
Şekil 3. K, H ve Vit E+H gruplarının MDA (nmol/ml) değerleri.....	30
Şekil 4. K, H ve Vit E+H gruplarının GSH (mg/dl) değerleri.....	31
Şekil 5. K, H ve Vit E+H gruplarının SOD (U/ml) değerleri.....	32
Şekil 6. K, H ve Vit E+H gruplarının GSH-Px (U/ml) değerleri.....	33
Şekil 7. K, H ve Vit E+H gruplarının vitamin E (mg/dl) değerleri .....	34



## **TABLOLAR**

Tablo 1. K, H ve Vit E+H gruplarından elde edilen II. derivasyonlara ait tüm dalgaların amplitüd ve süreleri .....	27
Tablo 2. K, H, Vit E+H gruplarına ait MDA, GSH, SOD, GSH-Px ve vitamin E değerleri.....	29

## **1. GİRİŞ**

Hipotermi, bazı fonksiyon bozuklukları veya soğuğa maruz kalma sonucu oluşur. Meydana gelen hipotermi ve hücre içerisindeki enzimatik reaksiyonları etkileyerek tüm metabolik işlemleri yavaşlatır (1). Bu nedenle izole edilmiş organların korunmasında hipotermiden yararlanılır (2). Ancak şiddetli hipotermi durumunda reaktif oksijen maddeleri ve hidroksil radikalleri oluşarak hücre membranında veya komponentlerinde bozukluğa yol açar. Oluşan bozukluk ise toksik aldehit oluşumuna ve hücre ölümüne neden olur. Bu maddelerden en önemlisi malondialdehit (MDA) dir (3).

Serbest radikallerin hücrede oluşturduğu hasarı önlemek için vücutta antioksidan savunma sistemi adı verilen savunma mekanizmaları gelişmiştir. Antioksidanlar peroksidasyon zincir reaksiyonlarını engelleyerek veya kısaca serbest radikalleri toplayarak lipit peroksidasyonunu engellerler (4). Antioksidan vitaminler (vitamin A, C ve E) iken süperoksit dismutaz (SOD), glutatyon peroksidaz (GSH-Px), glutatyon ve katalaz enzimleri de antioksidanlara örnek gösterilebilir.

Vitamin E, sellüler ve subselüler membran fosfolipitlerinde bulunan poliansature yağ asitlerinin peroksidasyonuna karşı ilk savunma hattını oluşturur. Vitamin E ayrıca fenolik bir hidrojeni, peroksidasyona uğramış bir poliansature yağ asidindeki serbest peroksit radikaline aktarabilir. Bunun sonucunda serbest radikal zincir reaksiyonlarını kırarak antioksidan aktivitesi gösterir (5).

Hipotermiden son yıllarda kalp operasyonlarında yararlanılmaktadır. Ayrıca vücudun dondurularak saklanması yönünde çalışmalar sürdürmektedir (6). Hipotermiye yönelik çalışmalar bu nedenle yoğunlaşmıştır. Hipotermının oluşturduğu fonksiyonel zararlar ve meydana getirdiği hasarların en aza indirilmesi yönündeki çalışmalar da yeni gelişmeler sağlandığı takdirde hipotermiden daha çok yaralanılacaktır. Bu nedenle, bu tez çalışmasında vitamin E uygulamasının deneysel olarak hipotermi oluşturulan kobaylarda elektrokardiyogram (EKG) bulguları, serum lipit peroksidasyonu ve antioksidan enzim düzeyleri üzerine etkileri araştırıldı.

## **2. GENEL BİLGİLER**

### **2.1. Hipotermi**

Hipotermi vücut ısısının  $35^{\circ}\text{C}$  nin altına düşmesi durumudur. Metabolik bozukluklar, hipotalamik ve merkezi sinir sistemi fonksiyon bozuklukları, sepsis, bazı ilaçlar ve soğuğa maruz kalma hipotermiyi oluşturan sebepler olarak gösterilebilir (7). Hipotermi primer veya sekonder olarak ortaya çıkar. Primer hipotermi; uygun olmayan korunma koşullarında soğuk ortamla direkt temas durumunda oluşur. Sağlıklı bireylerde sıklıkla görülen bir durumdur. Sekonder hipotermi ise vücudun termoregülatör mekanizmalarının bozulması sonucu oluşur. Bu tür hipotermi bazı sistemik hastalıkları bulunan kişilerde ortaya çıkar (8).

Hipoterminin risk faktörleri olarak ısı kaybının fazla olduğu durumlar (aşırı soğuk ortam, yetersiz giysi, ilerlemiş yaş), ısı üretiminin azalması (ileri yaş, bazı ilaçlar ve hastalıklar), termoregülasyonun bozulması ve diğer bazı faktörler (alkol, ırk) gösterilebilir (8).

#### **2.1.1. Hipoterminin çeşitleri**

Hipoterminin şiddetli, orta dereceli ve hafif olmak üzere üç çeşidi vardır (8).

##### **Şiddetli hipotermi**

Vücut ısısı  $24^{\circ}\text{C}$ 'nin altında olduğu durumlarda ortaya çıkar. Bu tür hipotermide ısıyı vücutta dengeleyen tüm koruyucu endokrin ve sinir sistemi mekanizmaları etkilerini kaybederler. Yoğun tıbbi tedaviye rağmen hastanın iyileşmesi ve hayatı kalması nadir olarak görülür (8).

##### **Orta dereceli hipotermi**

Vücut ısısı  $24$  ila  $32^{\circ}\text{C}$  arasında olduğu durumlarda ortaya çıkar. Bu tür hipotermiye bağlı olarak oluşan vazokonstriksiyonla vücuttaki ısı kaybı en aza

indirilmeye çalışılır. Ayrıca vücutta oluşturulan titremelerle (kas gruplarının ısı üretimi için senkronize kasılması) ısı üretimi artırılmaya çalışılır (8).

### **Hafif hipotermi**

Vücut ısısı  $32^{\circ}\text{C}$ 'nin üzerindedir. Titreme, bazal ve endokrinolojik ısı üretimi vücut ısısını artırmaya yardımcı olur (8).

#### **2.1.2. Hipoterminin patofizyolojisi**

Hipotermik hastada ortaya çıkan patofizyolojik değişiklikler ısı düşmesinin şiddetine, hipoterminin nedenlerine ve kişinin önceki sağlık durumuna göre değişir. Vücut ısısındaki  $1^{\circ}\text{C}$ 'lik oynamalar normaldir. Bunun dışındaki saptamlar tüm organ sistemlerini etkiler. Hipotermiye karşı vücudun değişik sistemleri tarafından oluşturulan yanıtlar şu şekilde özetlenebilir(8).

#### **Kardiyovasküler yanıt**

Vücut ısısı  $30^{\circ}\text{C}$ 'nin altına indiği durumlarda önce taşikardi ardından pacemaker hücrelerinin spontan depolarizasyonundaki baskılanmadan dolayı bradikardi görülür. Sistemik vasküler direnç önce artar, vücut ısısı  $24^{\circ}\text{C}$  ve altına düştüğünde ise azalır. Orta derecede veya ciddi hipotermisi olan bireylerde birçok atrial ve ventriküler aritmiler görülür. Kalp siklusunda uzama ortaya çıkar ve QT aralığı uzar. Vücut ısısı  $32^{\circ}\text{C}$ 'nin altında olduğu durumlarda sıkılıkla atrial fibrilasyon oluşur. Oluşan bu atrial fibrilasyon vücut ısısı normale döndürüldüğünde genellikle kendiliğinden düzelir. Vücut ısısı  $25^{\circ}\text{C}$ 'nin altına indiğinde ise spontan olarak ventriküler fibrilasyon ve asistol ortaya çıkar. Vücut ısısı  $30^{\circ}\text{C}$ 'nin üzerine çıkarılmadığı taktirde ventriküler fibrilasyonu düzeltme girişimleri başarılı olmaz (8).

#### **Respiratorik yanıt**

Hipotermiye karşı oluşan ilk yanıt solunum hızının artmasıdır. Vücut ısısı düştüğünde medullada bulunan solunum merkezi deprese olmaya başlar. Buna bağlı olarak dakika hacmi düşer ve orantılı olarak metabolik hız azalır. Karbondioksit üretimindeki azalmaya bağlı olarak hafif derecede solunumsal alkaloz gelişir. Solunum

yolunu koruyucu reflekslerin baskılanması sonucu atelektazi, bronkopönomoni, aspirasyon pönomonisi ve akciğer ödemi oluşur (8).

### **Merkezi sinir sisteminin yanıtı**

Merkezi sinir sistemi fonksiyonları gittikçe ilerleyen oranda azalır.  $33.5^{\circ}\text{C}$ 'nin altında belirgin olarak beyin fonksiyonları yavaşlamaya başlar ve  $20^{\circ}\text{C}$ 'nin altında beyin aktivitesi tamamen kaybolur. Mental durumda değişiklikteki kişide yanlış adaptasyon davranışları eşlik ederek durumun kötüleşmesine neden olabilir. Ancak hipotermili hastalar ısıtılp beyin fonksiyonları yeniden değerlendirilmeden beyin ölümü kabul edilmemelidir. Hipotermi durumunda vücuttaki refleksler azalır. Patella refleksi en son kaybolur (8).

### **Renal yanıt**

Soğukla temas renal kan akımı ve glomerüler filtrasyon hızını azaltmasına rağmen diürezi artırır. Fazla miktarda idrar üretimi Antidiüretik hormon (ADH) yanıtının azalması ve vazokonstrüksyon sonucunda oluşur. Hipotermik hasta ısıtıldığında rölatif hipovolemi ortaya çıkar ve yeniden ısıtma şoku olarak adlandırılır (8).

### **Hematolojik yanıt**

Hipotermi koagülasyonu bozar. Ancak hasta ısıtıldığında bozulmuş koagülasyon genellikle geriler. Koagülasyonun bozulmasında hipotermiye bağlı olarak oluşan vazokonstriksyon ve soğuk iskemik dokudan salınan doku tromboplastini gibi faktörler etkilidir. Soğuk presipite ettiği fibrinojen koroner ve serebral tromboz riskini de artıtırabilir (8). Hipotermi kemik iliği üzerinde baskılamaya neden olarak lökosit ve trombosit sayısını azaltır. Isıtma ile lökosit ve trombosit sayısı normale döner. Vücut ısısının her  $1^{\circ}\text{C}$  düşmesi ile kan viskozitesi % 2 oranında artar. Oksi-hemoglobin eğrisi sola kayar ve dokulara oksijen salımı azalır (8).

## **Gastrointestinal yanıt**

Hipoterminin gastrointestinal sistemde oluşturduğu komplikasyonlar ileus, pankreatit ve gastrik stres ülserleridir. Hepatik fonksiyon azaldığı için laktat, ilaçlar ve toksinlerin kandaki düzeyleri artar (8).

### **2.2. Elektrokardiyografi**

Kalbin çalışması sırasında oluşan aksiyon akımların kaydedilmesi ve yorumlanması ile uğraşan bilime elektrokardiyografi adı verilir (9). Bu amaçla kullanılan aygit elektrokardiyogaf, kağıt üzerine çizilen eğri ise elektrokardiyogram (EKG) adını alır. Elektrokardiyografi kalp ve damar hastalıklarının tanı ve incelenmesinin yanı sıra, kalp ilaçlarının ya da diğer ilaçların kalbe olan etkilerinin araştırılmasında da kullanılır (9).

EKG'de her kalp atımı sonucu meydana gelen P, Q, R, S, T ve U dalgalarından oluşmuş kompleks görülür. Dalgaların değişiklikleri, düzenli dalgaların farklı dalgaların görülmeleri veya dalgalar arasındaki sürelerde meydana gelen değişimler olası bir kalp hastlığı hakkında bazı ipuçları verir (10).

Hafif hipotermi durumunda sempatik sinir sisteminin uyarılması sonucu taşikardi oluşur. Ancak vücut ısısının  $32^{\circ}\text{C}$ 'nin altına düşüğü orta şiddetli hipotermi durumlarında sinüs bradikardisi, P-R ve Q-T aralıklarında uzama, idioventriküler ritim, T dalgasında değişiklikler ve J dalgası adı verilen Osborn dalgasının oluşumu EKG'de oluşan yaygın değişiklikler olarak göze çarpar (11). J dalgası çok belirgin bir nokta olmayıp QRS kompleksini izleyen S-T parçasında bir yükselme şeklinde göze çarpar. Genellikle sıcaklık ve Osborn dalgasının genişliği birbiri ile tersine ilişkilidir (12). Orta dereceli hipotermilerde ikinci derece atrioventriküler blok ve atrial fibrilasyon da görülebilir (13).

Vücut sıcaklığı  $25^{\circ}\text{C}$ 'nin altına düşüğü ciddi hipotermilerde fetal kardiak asistol ya da ventriküler fibrilasyon oluşabilir. Geniş J dalgası, Q-T aralığının uzaması ve bradikardi ile ilişkili olarak klinik semptomlarını gösterir (14). J dalgası hipotermi ile

ilişkili olmasına rağmen hiperkalsemi, serebral yaralanmalar ve otonom fonksiyon bozukluklarında da görülür (15).

Köpek, kirpi, kurbağa ve balıklarda ısı ve dolayısıyla kalp atımının artması ile P ve T dalgası, P-Q aralığı, QRS kompleksi ve özellikle Q-T aralığı süreleri kısalır. Aksine düşük ısıda uyar. Kış uykusu sırasında hayvanlarda sol dal bloğu ve düşük ısılı olanlarda sağ dal bloğu oluşur. Kirpilerde doğal ve yapay kış uykusunun çeşitli dönemlerinde çoğunlukla EKG'nin dalga ve aralık süreleri uyar, fakat voltaj değişmez (9).

### **2.3. Serbest Radikaller**

Stabil moleküllerin çoğunun dış yörüngesinde biri diğerine zıt yönde dönen elektron çiftleri vardır. Bu elektron çiftleri molekülü sabitleştirir. Dış yörüngesinde en az bir adet çift olmayan elektron içeren atom veya moleküle serbest radikal denir. Bir başka değişle en dış yörüngesinde ortaklanmamış elektron içeren kimyasal maddeler olarak da tanımlanırlar. Serbest radikaller oldukça reaktif maddelerdirler. Normal metabolizma ürünleri olarak *in vivo* üretilenleri gibi, endüstriyel işlemler sırasında da oluşabilirler. Normal şartlarda hücrelerde en büyük serbest radikal kaynağı elektron sızıntısıdır (16, 17).

Serbest radikaller, genelde çeşitli iç ve dış etkenlere bağlı olarak üretimlerindeki artışı takiben, başta membran fosfolipitleri olmak üzere hücresel bileşiklerin tümüne (karbonhidrat, lipit, protein, DNA v.b.) zarar vererek, membranda depolarizasyon oluşturmaktı, parçalatıcı enzimlerin aktivitesini artırmaktı, hücre zarının geçirgenliğini ve elektrik yük dengesini değiştirmektedirler. Hücrede lokalize oldukları en önemli organeller, başta mitokondri olmak üzere, hücre membranı, lizozomlar, çekirdek ve endoplazmik retikulumdur (18). Serbest radikaller 3 şekilde meydana gelir (19). Bunlar;

1. Kovalent bağlı normal bir molekülün hemolitik bölünmesi.
2. Normal bir molekülden tek bir elektronun kaybı veya molekülün heterolitik bölünmesi.

### 3. Normal bir moleküle tek bir elektronun eklenmesi.

Biyomoleküllerden en fazla etkilenen bileşik lipitlerdir. Membranlarda bulunan fosfolipitlerdeki doymamış bağlar ve kolesterol serbest radikallerle kolayca reaksiyona girerek peroksidasyon ürünlerini meydana getirir. Doymamış yağ asitlerinin oksidatif yıkımı lipit peroksidasyonu olarak isimlendirilir ve oldukça zararlıdır. Kendi kendini devam ettiren zincir reaksiyonları şeklinde oluşur. Lipit peroksidasyonu organizmada oluşan bir serbest radikal etkisi sonucu membran yapısında bulunan doymamış yağ asiti zincirlerinden bir hidrojen atomu uzaklaştırılmasıyla başlar. Bunun sonucunda yağ asiti zinciri bir lipit radikalı niteliği kazanır. Oluşan lipit radikalı dayanıksız bir bileşiktir ve bir dizi değişikliğe uğrar. Lipit peroksidasyonu ile meydana gelen membran hasarı geri dönüşümsüzdür. En önemli peroksidasyon ürünü MDA'dır. Molekül içi çift bağların pozisyonlarının değişmesiyle diğer konjugantları (bir alkilin iki çift bağı arasında bir tane tekli bağ varsa buna konjuge dien adı verilir), daha sonra lipit radikallerinin moleküler oksijenle etkileşmesi sonucu lipit peroksil radikalı meydana gelir. Lipit peroksil radikalleri membran yapısındaki diğer doymamış yağ asitlerini etkileyerek yeni lipit radikallerinin oluşumuna yol açarken, kendileri de açığa çıkan hidrojen atomlarını alarak lipit hidroperoksitlere dönüşürler ve olay kendi kendine katalizlenerek devam eder (18, 19, 20, 21).

Lipit peroksidasyonunun en önemli peroksidasyon ürünleri MDA, lipit peroksil radikalı, lipit arkoksil radikalı, alkil radikalı, lipit aldehitdir. Oluşan MDA hücre membranlarından iyon alışverişine etki ederek membrandaki bileşiklerin çapraz bağlanmasına yol açar. İyon geçirgenliğinin ve enzim aktivitesinin değişimi gibi olumsuz sonuçlara neden olur. MDA bu özelliklerinden dolayı, DNA'nın azot bazları ile de reaksiyona girebilir. Bundan dolayı MDA mutajenik kültür hücreleri için genotoksik ve karsinojeniktir (20, 22, 23).

## 2.4. Antioksidanlar

Reaktif oksijen türlerinin düzeylerini ve bunların meydana getirdiği hasarı sınırlamak için vücutta birçok savunma mekanizması gelişmiştir. Bunlar antioksidan savunma sistemleri olarak bilinirler. Antioksidanlar peroksidasyon zincir

reaksiyonunu engelleyerek veya reaktif oksijen türlerini toplayarak lipit peroksidasyonunu inhibe ederler (24). Antioksidan savunma sistemleri enzimatik ve enzimatik olmayan olmak üzere iki grupta toplanabilir (25, 26).

#### **2.4.1. Enzimatik savunma sistemi**

Antioksidan enzimlere örnek olarak SOD, katalaz, ve glutatyon siklusun enzimleri olan GSH-Px, glutatyon redüktaz (GR) ve glukoz 6 fosfat dehidrogenaz (G-6-PD) gösterilebilir.

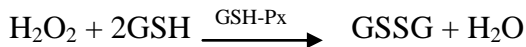
##### **2.4.1.1. Glutatyon peroksidaz**

GSH-Px enzimi ilk olarak 1957 yılında Mills tarafından memeli eritrositlerinde gösterilmiştir (27). GSH-Px hidroperoksidlerin indirgenmesinden sorumlu enzimdir. Birçok dokuda bulunan 4 selenyum atomu içeren sitozolik bir enzimdir. Molekül ağırlığı 84.000 dalton'dur (28). Enzimin 4 prostetik grubu protohemmdir. Peroksidaz tarafından katalizlenen reaksiyonlarda hidrojen peroksit, askorbat, kinonlar ve sitokrom C gibi elektron akseptörleri olarak hareket eden birçok maddenin zararına olacak şekilde indirgenir (29).

GSH-Px, çoğu hücrede sitozolde bulunur ve bir fosfolipaz tarafından membran fosfolipitlerinden ayrılan yağ asidi hidroperoksidleri ve hidrojen peroksidin her ikisi üzerine etkilidir (30). Bu enzim sayesinde eritrositlerin membran yapıları korunarak hemolize karşı dayanıklılığı artar ve methemoglobin oluşumu engellenir. Hücre membran lipitlerinin yapısında bulunan doymamış yağ asitleri oksitlenmeden korunarak membran dayanıklılığı sağlanır. Böylece hücre fonksiyonlarını tam olarak sürdürür. GSH-Px enzim aktivitesinin yeterli olması halinde hücrelerin onkojenik maddelere karşı direnci artar (31).

GSH-Px, tamamlayıcı bir komponenti olan selenyumla birlikte, E vitamininden sonra ikinci bir savunma hattı olarak peroksitleri membrana zarar vermeden yok eder (32). Bu enzimin aktivitesinde görülen yetersizlikler sonucunda iskelet ve kalp kaslarında dejenerasyonlar şekillenir (31).

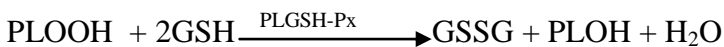
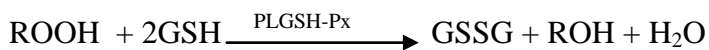
### GSH-Px'in katalizlediği reaksiyonlar (33)



Hidroperoksitlerin redükte olması ile meydana gelen GSSG glutatyon redüktazın katalizlediği reaksiyon ile tekrar GSH'a dönüşür.



Fosfolipit hidroperoksitlerinin GSH-Px'e etki etmeden önce, fosfolipaz A<sub>2</sub> ile hidrolize edilmiş olmaları gerektiği yolunda bulgular vardır. Fosfolipaz A<sub>2</sub>'ye ihtiyaç duymadan membran fosfolipitlerini indirgeyebilen fosfolipit, hidroperoksid glutatyon peroksidaz (PLGSH-Px) diye bilinen ikinci bir seleno-enzimin etkileri araştırılmaya başlanmıştır. PLGSH-Px monomerik selenyum atomu ihtiva eden, molekül ağırlığı 20.000 dalton olan sitozolik bir enzimdir. Membrana bağlı bir antioksidan olan vitamin E sınırlı olduğu zaman, PLGSH-Px membranın peroksidasyona karşı korunmasını sağlar. Membran fosfolipit hidroperoksitlerini alkollere indirger (33).



GSH-Px'in selonat formu (E-Se<sup>-</sup>) peroksid substratını alkole indirgerken, kendisi okside selenik aside dönüşür (E-Se-OH). GSH, bu evrede reaksiyona katılarak seleno-sülfit'i (E-Se-S-G) oluşturur. İkinci bir glutatyon selenolat forma dönerken, glutatyon okside hale dönüşür. Eritrositlerde GSH-Px oksidan strese karşı en etkili antioksidandır. GSH-Px aktivitesindeki azalma, hidrojen peroksidin artmasına ve şiddetli hücre hasarına yol açar (33).

#### **2.4.1.2. Süperoksit dismutaz**

SOD ilk olarak 1968 yılında McCord ve Fridovich tarafından bulunmuş olup, metalloenzim ailesine dahil bir enzimdir. Bu enzim süperoksidin, hidrojen peroksit ve moleküler oksijene dönüşümünü katalizler. Selüler bölmelerdeki süperoksit düzeylerini kontrol etmede önemli rol oynar (34).

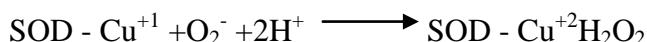
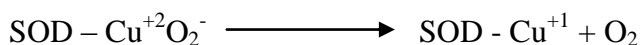
SOD'un fizyolojik fonksiyonu, aerobik organizmaları süperoksitin zararlı etkilerine karşı korumaktır. Böylece lipit peroksidasyonunu inhibe eder (34). SOD'un singlet oksijeni bastırma yeteneğine de sahip olduğu kaydedilmiştir (35). SOD, fizyolojik pH 'da süperoksit radikalının hidrojen perokside ve moleküler oksijene mutasyonunu, spontan dismutasyondan 10.000 kez daha hızlı oranda katalizler (36).

SOD aktivitesi yüksek oksijen kullanımı olan dokularda fazladır. SOD'un ekstraselüler aktivitesi çok düşüktür. Doku oksijen basıncı artışı ile aktivitesi artarken, hipoksi esnasında azalır. Normal ve respiratuvar distresli neonatlarda, eritrosit SOD'unun bu özelliği, akciğerde oksijen toksisitesini önler (35).

SOD, kollageni süperoksid radikalının zararlı etkilerinden korur. Ekstraselüler sıvılar çok az miktarda SOD içerdiginden, serbest radikalleri eser miktarları bile burada büyük hasarlara yol açabilir (37). Son yıllarda sürdürülen çalışmalarla SOD'un akut hipertansiyonda gelişebilecek beyin hasarını önlemek amacıyla ilaç olarak kullanılabileceği yolunda veriler elde edilmiştir (36).

SOD'un süperoksit anyonuna olan etkisi şöyledir;

Süperoksit anyonu,  $\text{Cu}^{+2}$  ve bir arginin rezidüsünün guanido grubuna bağlanır. Bu bağlanma sonucunda süperoksitten bir elektron  $\text{Cu}^{+2}$ 'ya transfer olurken  $\text{Cu}^{+1}$  ve moleküler oksijen meydana gelir. İkinci bir süperoksid anyonu  $\text{Cu}^{+1}$ 'dan bir elektron, bağlanma ortağından ise 2 proton alarak hidrojen peroksid oluşturur ve enzim tekrar  $\text{Cu}^{+2}$  formuna dönmüş olur (38).



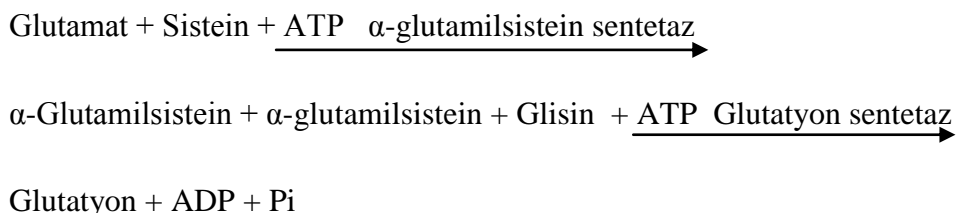
## **2.4.2. Enzimatik olmayan savunma sistemi**

Bunlara örnek olarak vitaminler (A, C ve E), glutatyon, seruloplazmin, ürat, sistein, transferrin, laktotferrin, miyoglobin, ferritin, albümin ve bilirubin gösterilebilir.

### **2.4.2.1. Glutatyon**

Glutatyon ilk olarak 1929 yılında kimyasal formülü açıklanmış olan bir tripeptiddir. Glutatyon; glutamik asit, sistein ve glisinden sentezlenir (39). Oksidasyon ve redüksiyon reaksiyonlarında, hücre zarında amino asitlerin taşınmasında rol oynar. Glutatyonun redükte hali GSH olarak kısaltılır; SH sisteinin sülfidril grubuna işaret eder ve molekülün alışveriş yapan kısmıdır (40).

Kandaki glutatyonun tamamına yakınının alyuvarların içinde bulunduğu ve indirgeyici özellikte olan glutatyonun alyuvarları oksidatif yıkıma karşı koruduğu bildirilmiştir (41, 42, 43). Glutatyon alyuvarlar içinde üç aşamada sentezlenir. Sentezlenme aşamalarındaki herhangi bir genetik bozukluk GSH yetersizliğine sebep olur. Glutatyon;



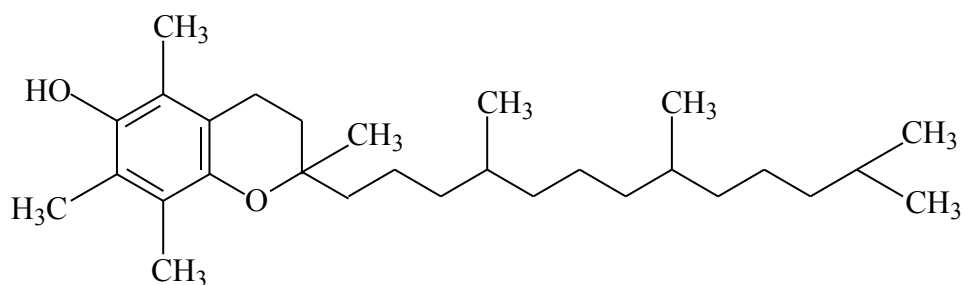
Çok önemli bir antioksidan olan glutatyon, serbest radikaller ve peroksitlerle reaksiyona girerek hücreleri oksidatif zarara karşı korur. Proteinlerin -SH gruplarını redükte halde tutarak, protein ve enzimlerin inaktivasyonuna engel olur. Ayrıca yabancı bileşiklerin detoksifikasyonunu ve amino asitlerin membranlardan geçişini de sağlamaktadır (19, 44). Hücre membranında bulunan doymamış yağların peroksitler tarafından oksitlenmesiyle, patolojik değişiklikler meydana gelir. Kalp, akciğer, kas, savunma, sindirim sistemi ile ilişkili hastalıklar, yaşlanma, ateroskleroz, kanser, diabet, romatoit artrit gibi birçok patolojik oluşumlardan serbest radikaller sorumlu tutulmaktadır. Bu patolojik durumlar GSH-Px enzimi tarafından önlenirken hücre fonksiyonları tam olarak sürdürülür. GSH-Px aktivitesinin yeterli olması durumunda

hücrelerin onkojenik maddelere karşı direnci artar. GSH-Px; böbrek, karaciğer ve pankreası nekrotik dejenerasyonlardan korumaktadır. GSH bazı ilaçlar ve kanserojenler gibi çeşitli toksik bileşiklere karşı önemli bir savunma mekanizmasıdır (45, 46, 47, 48).

#### 2.4.2.2. Vitamin E ( $\alpha$ -Tokoferol)

Vitamin E ilk olarak 1921 yılında ratlarda büyümeye faktörü olarak bulunmuş, besinlerle alınması şart olan, yalda eriyen antioksidan bir vitamindir. Bitkisel yağlardan ve buğday embriyosundan elde edilen vitamin E'ye Yunanca bir kelime olan tokoferol de denir (49).

Vitamin E etkisi gösteren ve bitkilerde sentezlenen 8 tane doğal tokoferol mevcuttur ( $\alpha$ ,  $\beta$ ,  $\gamma$ ,  $\delta$ ,  $\zeta_1$ ,  $\zeta_2$ ,  $\varepsilon$ ,  $\eta$ ). Bu tokoferoller tokol çekirdeğinden türerler. Tokoferollerdeki farklılık tokol çekirdeğinin değişik yerlerine metil grubunun bağlanmasıından kaynaklanır (Şekil 1). Yan zincirlerinde doymamış bağlar bulunmaktadır. Doğada en fazla bulunanı  $\alpha$  tokoferoldür. Bundan dolayı tokoferollerin etkileri de farklıdır. Bu vitamin çoğunlukla yağ dokusunda olmak üzere bütün dokularda depolanır. Vitamin E, ilk olarak karaciğerde depolanmaz ve taşınması için ayrıca özel bir proteine gerek yoktur. Tokoferoller, sarımsı renkte yağlar olup suda erimezler ve oksitlenmeye karşı duyarlıdırlar (49).



Şekil 1.  $\alpha$ -Tokoferol (5,7,8- trimetil tokol) (49).

Oral alınan tokoferol genellikle iyi absorbe edilir. Yağlar ve safra tuzları diğer yalda eriyen vitaminlerde olduğu gibi vitamin E'nin absorbsyonunu kolaylaştırır. Tokoferoller ince bağırsakta safranın yardımıyla emülsiyon haline gelir ve sonra absorbe olurlar. Maksimum absorbsyon vitamin E sindirim sistemine alındıktan birkaç

saat sonra görülür. Bozulmuş yağlar vitamin E'yi oksidasyona uğratarak bozulmasına neden olur. Mineral yağlar ise bu vitaminin absorbsiyonunu engeller. Vitamin E plazmada  $\beta$ -lipoproteinlere bağlı olarak taşınır. Tokoferol safra ile nispeten küçük miktarlarda atılır. Yüksek dozda tokoferol verildikten sonra insan idrarında metabolitleri [2-(3-hidroksi-3-metil-5-karboksi pentil)-3.5.6-trimetil hidrokinon ve tokoferolün gamma laktone] izole edilmiştir (50).

Vitamin E karaciğer ve yağ dokularında depo edilir. Depolama miktarı yaşa ve cinsiyete göre değişir. Yaş ile depolama kapasitesi artar. Ayrıca dışı hayvanların bir çok organlarının erkeklerde göre daha yüksek miktarda vitamin içerdiği bulunmuştur. Bütün hayvanlarda vitamin E miktarının hipofizde, adrenal bezlerde ve uterusta yüksek olduğu görülmüştür. Vitamin E vitamin A'nın tersine plasentada da depo edilir. Ancak fötuse transferi çok sınırlı olup yeterli değildir. Hücre içerisinde ise tokoferol mitokondri, mikrozom ve lizozomlarda konsantrasyonlu olur (50).

Vitamin E, biyolojik membranlarda fosfolipit molekülleri içinde bulunur ve her fosfolipit molekülü başına 0.1 - 1 mol E vitamini vardır (51, 52). Bir molekül alfa tokoferol, 100 molekül poliansature yağ asidinin peroksidasyonunu engelleyebilir. Mitokondri fosfolipitleri, endoplazmik retikulum ve plazma membranları alfatokoferole karşı spesifik affiniteye sahiptirler (52, 53).

Vitamin E, çok önemli bir antioksidan olup, lipit peroksidasyonunun erken aşamalarında biomembranlardaki serbest radikal toplayıcı aktivitesi sonucu hücre membran fosfolipitlerinde bulunan poliansature yağ asitlerini serbest radikal etkisinden koruyarak, lipit peroksidasyonuna karşı ilk savunma hattını oluşturur (54, 55).

Vitamin E, miyokardiyal hücrelerin membranlarında belirgin konsantrasyonlarda tespit edilmiştir. *In vitro* çalışmalar E vitamininin serbest radikal toplayıcısı ve miyokart membranlarının serbest radikallerce lipit peroksidasyonuna uğratılmasında koruyucu olduğunu ortaya koymuştur (53). Vitamin E alınmasıyla koroner kalp hastalığı riskinin azaldığını gösteren epidemiyolojik çalışmalar da vardır (56).

Diğer vitaminlerden farklı olarak tokoferol görevini tamamladıktan sonra yeniden sisteme dahil olmadığından, hücredeki biyolojik rolünü sürdürmek için sürekli

olarak yenilenmelidir. Tokoferolün antioksidan etkisi özellikle yüksek oksijen konsantrasyonlarında etkilidir ve bundan dolayı yüksek oksijen basıncına maruz kalan lipit yapılarında, mesela eritrosit ve solunum sistemi membranlarında yoğunlaşmışlardır (57).

Vitamin E'nin öncelikle en önemli görevi antioksidan etkiye sahip olmasıdır. Membranlar içinde bulunan doymamış yağ asitlerinin oksitlenmesini önleyen vitamin E, membranlarda meydana gelebilecek yıkımlayı önlemektedir. Membranda bulunan fosfolipitlerin doymamış yağ asitleri bölümü, flavoprotein oksidaz tarafından oluşturulan hidrojen peroksit üremiyle oksitlenir. Evcil veya deney hayvanlarında öncelikle ortaya çıkan bozukluklar, embriyo, böbrek, karaciğer, pankreas, yumuşak doku ve iskelet kaslarında görülür. Oksidasyon esnasında açığa çıkan süperoksit, diğer radikaller ve peroksit, membran enzimleri Sitokrom P<sub>450</sub> oksidaz ve ksantin oksidaz tarafından katalizlenir ve diğer proteinlerle serbest radikalleri oluştururlar. Bu serbest radikaller daha sonra mitokondriyal, mikrozomal ve hücre membranları fosfolipidlerinin doymamış yağ asitlerini okside ederek bozuklukların ortayamasına neden olur (49).

E vitamini, oksijene duyarlı bir vitamin olan A vitaminin parçalanmasını önleyerek vücudun A vitamin ihtiyacının daha yüksek bir düzeyde karşılanması sağlar (32, 50). Tokoferol, hem erkeklerde hem de dişilerde üreme için gereklidir. Aksi halde germinal epitellerde tedavisi olanaksız bir dejenerasyon ortaya çıkar. Dişiler gebe kalsa bile embriyoölür ve rezorbe edilir (32, 50).

E vitamini bitkisel yağlarda bol miktarda bulunmaktadır. Karaciğer, yumurta, süt ve süt ürünleri vitamin E'nin bol bulunduğu besinlerdir. Bu besinlerin yetersiz alınması halinde noksantalik belirtileri ortaya çıkar. Doymamış yağ asitlerinin gıdalarla fazla alınması vitamin E ihtiyacını artırır. Yağda eriyen bir vitamin olduğu için lipit emilim bozukluklarında vitamin noksantalığı ortaya çıkabilir. Noksantalik durumunda eritrositlerin peroksidasyona duyarlılığı artmaktadır ve bu nedenle anormal hücre membranı oluşmaktadır (58).

Lipit sindiriminin, absorbsyonunun veya transportunun etkilendiği herhangi bir durumda vitamin E yetersizliği oluşabilir. Kolestatik karaciğer hastalıkları ve kistik fibrosis vitamin E yetersizliği ile sonuçlanan en genel kronik malabsorbsyon

sendromlarıdır. Serum vitamin E seviyesi şiddetli yağ malabsorbsiyonu nedeniyle abetalipoproteinemiye sahip hastalarda sık sık belirlenememektedir (20). Uzun süreli vitamin E yetersizliğinde progresif nörolojikal sendrom belirlenmiştir. Böylece vitamin E'nin sinir sisteminin ve iskelet kaslarının fonksiyonunu sürdürmesi ve optimal gelişiminde ne kadar önemli olduğu görülmektedir. Araştırmalar kuvvetli vitamin yetersizliği olan hastalarda vitamin E gereksinimin diğer endojen ve ekzojen antioksidanlar tarafından karşılanamadığını göstermiştir. Vitamin E yetersizliği sonucu oluşan nörolojikal disfonksiyon çocukluk döneminde tedavi edilebilir. Vitamin E yetersizliği aynı zamanda prematüre doğumlara neden olabilir. Ancak uygun serum vitamin E seviyesini, vitamin E takviyesi ile yeniden düzeltmek mümkündür (59).

### **3. MATERYAL VE METOT**

#### **3.1. Materyal**

##### **3.1.1. Canlı materyal**

Araştırmada canlı hayvan olarak 500-800 gr ağırlığında 30 adet sağlıklı erkek kobay (guinea pig) kullanıldı. Kobaylar deney süresince her bir kafeste 10 adet olacak şekilde 60x90x45 ebatlarında olan 3 adet izgaralı, metal köşebentli, tel örgülü kafeslerde barındırıldı. Biyolojik ritimlerinin düzenli olması için  $21\pm1$  °C ısı, 12 saat ışık, 12 saat karanlık ortamda ve hijyenik şartlarda tutuldu. Kobaylar standart pelet rat yemi ve suyla *ad libitum* beslendi.

##### **3.1.2. Kullanılan alet ve malzemeler**

Boeco S-22 UV/Vis, Spektrofotometre  
Derin dondurucu (-20 °C) (Uğur),  
Sıcak su banyosu BM 101 Nüve,  
Bosch S 2000 Hassas Terazi,  
Heraeus Sepatech Minifuge RF Soğutmalı Santrifuj,  
MS2 Minishaker Vorteks,  
Biohit otomatik pipet,  
Whatman süzgeç kağıdı No. 42,  
Ependorf tüp,  
Kanül,  
Termometre,  
Enjektör 5 cc lik,  
Deney tüpü,  
EDTA'lı tüp,  
EKG cihazı (Cardiofax 6851),  
EKG trase kağıdı,

Mikro küvet,  
Cam huni,  
Balon joje,  
Cam baget.

### **3.1.3. Kullanılan kimyasal maddeler**

SOD enzim kiti, Randox,  
GSH-Px enzim kiti, Randox,  
GSH, Boehringer-Mannheim,  
Metafosforik asit, Merck,  
Bütlenmiş hidroksitoluen (BHT), Sigma,  
Tiyobarbitürk asit (TBA), Sigma,  
1.1.3.3.tetraethoksiopropan (MDA), Sigma,  
5-5'-Dithiobis (2-nitrobenzoik asit) (DTNB), Sigma,  
Triklor asetik asit (TCA), Merck,  
Sodyum klorür (NaCl), Merck,  
Sodyum hidroksit (NaOH), Merck,  
Etilen diamin tetra asetik asit (EDTA), Merck,  
Metanol, Merck,  
Triklor asetik asit (TCA), Merck,  
Hidroklorik asit (HCl) (%37), Merck,  
Absolut etanol ( $C_2H_5OH$ ), Delta,  
Vitamin E, Roche,  
EKG jeli, Konix,  
Sodyum sitrat, Merck,  
Disodyum hidrojen fosfat ( $Na_2HPO_4$ ), Merck,  
Sodyum dihidrojen fosfat ( $NaH_2PO_4$ ), Merck,  
Demir III klorür ( $FeCl_3$ ), Merck,  
 $\alpha$ -tokoferol, Sigma,  
2,4,6-Tripyridyl-s-triazine (TPTZ), Sigma.

## **3.2. Metot**

### **3.2.1. Grupların oluşturulması**

Kobaylar ortama adaptasyon sağlayabilmesi için bir hafta çalışma ortamında bekletildi. Daha sonra, kobaylar her bir grupta 10 adet olacak şekilde kontrol (K), hipotermik (H) ve vitamin E uygulanan hipotermik (Vit E+H) olmak üzere 3 deneme grubuna ayrıldı. Analizler yapılmadan önce Vit E+H grubundaki kobaylara oral olarak 4 gün boyunca 460 mg/kg vitamin E (Roche) verildi (60). Diğer iki gruba (K ve H) vitamin E verilmedi. Son vitamin E uygulamasından 24 saat sonra H ve Vit E+H gruplarında yer alan kobaylar herhangi bir anestezik veya trankilizan madde verilmeden boyunlarının üst kısmına kadar soğuk su ( $10-12^{\circ}\text{C}$ ) içerisinde sokuldu ve 5 dakika soğuk su içerisinde tutuldular. K grubundaki kobaylar ise aynı yöntemle vücut ısısındaki ( $37^{\circ}\text{C}$ ) su içerisinde 5 dakika tutuldular. Su içerisinde çıkarılan kobayların hemen rektal vücut ısları termometre ile ölçüldü, EKG'leri çekildi ve daha sonra kanları alındı.

### **3.2.2. EKG çekimi**

Vücut ıısı ölçülen kobay vakit kaybedilmeden EKG çekimi için hazırlandı. Bu amaçla EKG cihazında bulunan elektrotlar ön bacaklarda triceps brachii kasının (coput longum ve coput laterale) üzerindeki deriye, arka bacaklarda ise biceps femoris kasının üzerindeki deriye tutturuldu. Elektrotların tutturulduğu bölgelere deride direnci azaltmak ve net kayıt alabilmek için elektrot jeli sürüldü. Kayıt süresince hayvanlara anestezi uygulanmadı ve tüm kayıtlar aynı gün elde edildi.

Kobaylardan EKG çekimi direkt yazıcı bir elektrokardiyograf (Cardiofax 6851) yolu ile yapıldı. Tüm EKG'ler  $1\text{mV} = 10 \text{ mm}$  ve kağıt hızı  $50 \text{ mm/sn}$  olacak şekilde standardize edildi. Birinci, II, III, aVR, aVL ve aVF derivasyonların çekimleri yapıldı. Ancak dalgaların sürelerinin ve amplitüdlerinin ölçümlü II. derivasyon kullanılarak yapıldı.

### **3.2.3. Kan örneklerinin alınması ve analizler**

EKG çekimini takiben eter ile anestezi edilen hayvanların kalbinden biri EDTA'lı olmak üzere iki plastik tüpe kan örnekleri alındı. EDTA'lı tüplerdeki kanlar tüm kan analizi ve eritrosit paketi hazırlanmasında kullanıldı. Diğer tüplerdeki kanlar ise serum vitamin E değerinin tayini için kullanıldı. Alınan kanlar 1 saat, +4 °C'de bekletildikten sonra 3.000 rpm'de +4 °C'de Heraeus Sepatech Minifuge RF soğutmalı santrifüjde 15 dk santrifüj edildi. Oluşan plazma atıldı. Altta kalan hacme eşit oranda serum fizyolojik (% 0.9 NaCl) eklenerek eritrositlerin yıkaması gerçekleştirildi. Serum fizyolojik eklenen tüpler +4 °C'de 3.000 rpm'de 10 dk santrifüj edildiler: Eritrosit yıkama işlemi 3 kez tekrarlandı. Tüm kanda MDA ve GSH ölçümleri gerçekleştirildikten sonra SOD ve GSH-Px enzim aktiviteleri tayinine kadar eritrosit paketleri derin dondurucuda -20 °C'de muhafaza edildi (61, 62).

#### **3.2.3.1. GSH tayini**

##### **Prensip**

EDTA'lı kanın distile su ile hazırlanan hemolizinde, sülfidril (SH) taşımayan tüm proteinler çöktürücü (prespitasyon) çözelti ile çöktürüldü. GSH, elde edilen berrak sıvıda sülfidril gruplarının DTNB (5',5'-(2-dithiobis nitrobenzoik asit) ile reaksiyonu sonucu sarı rengin oluşumu ile ölçüldü. EDTA'lı kanlarda indirgenmiş GSH düzeyleri ölçümü, 24 saat içinde, spektrofotometrede 412 nm'de gerçekleştirildi (62, 63).

##### **Ayırıcılar**

- 1. Çöktürücü Çözelti:** 1.67 g metafosforik asit, 0.2 g EDTA (etilen diamin tetraasetik asit), 30 g NaCl 100 ml'ye distile suda eritilerek tamamlandı.
- 2. Fosfat çözeltisi:** 0.3 M disodyum fosfat distile su ile hazırlandı.
- 3. DTNB (Ellman's ayıracı):** 40 mg DTNB (5,5'-dithiobis -(2-nitrobenzoik asit)), %1 sodyum sitrat, 100 ml'ye distile su ile tamamlandı.

## **Deneyin yapılışı**

EDTA'lı tüm kandan 200  $\mu$ l alındı. Üzerine 1.8 ml distile su eklendi ve hemoliz gerçekleştirildi. Çöktürücü çözeltinin 3 ml'si ile hemolizat karıştırıldı. Beş dakika bekleme sonrası, karışım Whatman süzgeç kağıdından (No: 4) süzüldü. Örnek numuneden elde edilen süpernatantın 2 ml'si başka tüpe aktarıldı. Üzerine 8 ml fosfat çözeltisi, 1 ml DTNB ayıracı eklendi. Blank için 2 ml çöktürücü çözelti (3 kısım çöktürücü çözelti + 2 kısım distile su), 8 ml fosfat çözeltisi ve 1 ml DTNB ayıracı tüpe alınarak hazırlandı. Standart için, 40 mg GSH çözeltisi taze olarak hazırlandı. Spektrofotometrede 412 nm'de blanca karşı standart numunelerin optik dansiteleri okundu. Sonuçlar mg/dl tüm kan olarak hesaplandı. Eritrositte GSH miktarı için hematokrit değeri ölçüldü ve tüm kandaki GSH miktarı, hematokrit değere bölünerek bulundu (62, 63).

### **3.2.3.2. MDA tayini**

#### **Prensip**

Yağ asitlerinin, serbest radikallerle reaksiyonu sonucu oluşan peroksidasyon ürünlerinden MDA, tiobarbutirik asit ile renkli forma girmesi ile ölçüldü (64, 65).

Lipit peroksidasyon ürünü MDA seviyesi, TBA reaktifi ile renk reaksiyonu sonucu spektrofotometrede maksimum 532 ve 600 nm'de absorbansların ölçümü ile tesbit edildi. 600 nm'de ölçüm yapılan ve hemoglobinden ileri gelen absorbans miktarı, 532 nm'deki absorbans miktarından çıkartıldı.

#### **Ayırıcılar**

1. EDTA çözeltisi (0.1 M): 37.224 gr EDTA-Na<sub>2</sub>H<sub>2</sub>O 1 litre distile suda eritildi.
2. BHT çözeltisi (% 88): 0.220 gr BHT 25 ml saf alkolde çözüldü.
3. NaOH çözeltisi (0.05 N): 2 gr NaOH 1 lt distile suda eritildi.
4. TBA çözeltisi (% 1): 1 gr TBA 100 ml'ye 0.05 N NaOH ile tamamlandı.
5. TCA (% 30) : 30 gr TCA 100 ml distile suda eritildi.

6. Fosfat Tamponu: 8.1 gr NaCl, 2.302 gr Na<sub>2</sub>HPO<sub>4</sub>, 0.194 gr NaH<sub>2</sub>PO<sub>4</sub> distile suda eritilerek 1 lt'ye tamamlandı pH'sı 4.7'ye ayarlandı.

### **Deneyin Yapılışı**

Bir tüpe tüm kandan 200  $\mu$ l alındı. Üzerine 800  $\mu$ l fosfat tamponu ve 25  $\mu$ l BHT konulup süspanse edildi. 500  $\mu$ l % 30'luk TCA eklendi. Tüpler vortekste karıştırılarak 2 saat süreyle -20 °C'de buzda tutuldu. Sonra 15 dk 2.000 rpm'de santrifüj edildi. Supernatantın 1 ml'si alınarak başka tüplere aktarıldı. Bunların üzerine 75  $\mu$ l EDTA - Na<sub>2</sub>H<sub>2</sub>O ve 250  $\mu$ l TBA eklendi. Tüpler vortekste karıştırıldı ve 15 dk sıcak su banyosunda (+90 °C'de) tutuldu. Sonra oda ısısına getirilerek 532 ve 600 nm'de optik dansiteleri okundu. Eritrositte gerçekleşen çalışmada 600 nm'deki optik dansiteler 532 nm'de okunanlardan çıkartılarak hemoglobindeki MDA miktarı ortadan kaldırıldı. Eritrosit MDA miktarları, MDA-TBA karışımının ekstinksiyon katsayısından (64.7636) yararlanılarak hesaplandı (64, 65).

### **Hesaplanması**

$$A = E \times C \times L$$

A = Absorbans,      E = Ekstinksiyon katsayı,

L = Işık yolu,      C = Konsantrasyon

$$1. \text{ Sulandırma} : 0.2 + 0.8 + 0.025 + 0.5 = 1.525 / 0.2 = 7.625$$

$$2. \text{ Sulandırma} : 1 + 0.075 + 0.25 = 1.325 / 1 = 1.325$$

$$\text{Sonuç} = 7.625 \times 1.325 = 10.103 \text{ } 125=F$$

$$c = A/a \times b = (A/\text{mol} \times \text{cm}) / (1.56 \times 10^5 \times \text{lt}) \times (1/\text{cm}) \times (10^9 \text{ nM/mol}) \times (\text{lt}/10^3 \times \text{ml})$$

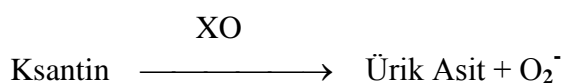
$$c = A \times 1 \times F \times 10 / 1.56 = \text{nmol} / \text{ml eritrosit}$$

### **3.2.3.3. SOD enzim tayini**

#### **Prensip**

SOD'un rolü, oksidatif enerji basamağında üretilen toksik süperoksit radikalının (O<sub>2</sub><sup>-</sup>) hidrojen peroksite (H<sub>2</sub>O<sub>2</sub>) ve moleküler oksijene (O<sub>2</sub>) dismutasyonunu

hızlandırmaktır. Bu metotla aşağıdaki formülde görüldüğü gibi ksantin ve ksantin oksidaz kullanılarak süperoksit radikali, 2-(iodophenyl)-3-(4-nitrophenol)-5-phenyltetrazolium chloride (I.N.T.) ile kırmızı boyalı formuna dönüşür. SOD aktivitesi, bu reaksiyonun inhibisyon derecesi ile ölçüldü (66, 67).



## Ayıraçlar

### Konsantrasyonları

#### 1. Miks Substrate

Ksantin	0.05 mmol/l
I.N.T.	0.025 mmol/l

#### 2. Tampon

CAPS	50 mmol/l pH 10.2
EDTA	0.94 mmol/l

#### 3. Xanthine Oxidase

80 U/l

#### 4. Standart

5.70/ml

## Deneyin yapılışı

SOD enzim aktivitesi Randox -Ransod enzim kiti ile otoanalizörde 505 nm'de 37 °C'de ölçüldü (68, 69). Analiz materyali olarak daha önce hazırlanan ve analiz zamanına kadar -20°C'de derin dondurucuda muhafaza edilen eritrosit paketi kullanıldı.

Eritrosit paketinden 10  $\mu$ l alınarak 2500  $\mu$ l. 0.01 M fosfat tamponu (pH = 7.0) ilave edilerek 251 katı sulandırıldı ( $F = 251$ ). İnhibisyonun % 30-60 arası olması sağlandı.

Küvette aşağıdaki ayıraçlar pipetlendi.

<u>örnek</u>	<u>Ayıraç körü</u>	<u>Standart</u>	<u>Sulandırılmış</u>
Sulandırılmış Örnek	-----	-----	20 $\mu$ l
Standart	-----	20 $\mu$ l	-----
Fosfat Tamponu	20 $\mu$ l	-----	-----
Karışık Substrat	680 $\mu$ l	680 $\mu$ l	680 $\mu$ l

İçerik karıştırıldı ve ilk absorbans  $A_1$ , 30 saniye sonra okundu ve eş zamanlı olarak zaman başlatıldı. Son absorbans  $A_2$ , 3 dakika sonra saptandı.

### Hesaplama

Otoanalizörden alınan optik dansite sonuçları aşağıdaki denklemde yerine konarak SOD enzimi % inhibisyonları hesaplandı.

$$100 - \frac{(\Delta A_{\text{StdDk.}} \times 100)}{(\Delta A_{\text{Blank Dk.}})} = \% \text{ İnhibisyon}$$

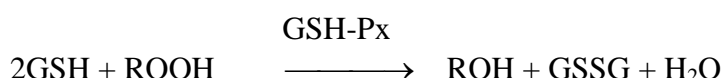
$$100 - \frac{(\Delta A_{\text{ÖrnekDk.}} \times 100)}{(\Delta A_{\text{Blank Dk.}})} = \% \text{ İnhibisyon}$$

SOD enzim aktivitesinin hesaplanması için, standart grafiği elde edildi. Grafikten elde edilen  $y = 0.0016x^2 + 0.298 - 0.05x$  ( $y = U / \text{ml}$ ,  $x = \% \text{ inhibisyon}$ ,  $r = 0.88$ ,  $r^2 = 0.93$ ,  $p < 0.02$ ) formülü ile SOD aktivitesi  $U / \text{ml}$  tüm kanda hesaplanarak, sulandırma faktörü (251) ile çarpıldı.

### 3.2.3.4. GSH-Px enzim tayini

#### Prensip

GSH-Px, formülde görülen kumen hidroperoksit ile GSH'ı okside eden reaksiyonu katalizler. Ortamda GR ve nikotinamid adenin dinükleotid fosfat hidrojen (NADPH) var ise yükseltgenmiş glutatyon (GSSG), NADPH'ın NADP'ye oksidasyonu ile GSH'a indirgenir (69, 70).



#### Ayıracalar

#### Konsantrasyonları

##### 1. Ayırac :

Glutatyon 4.0 mmol/l

G.Reduktaz  $\geq 0.5 \text{ U/l}$

NADPH 0.28 mmol/l

##### 2. Tampon :

Fosfat 0.05 mol/l pH 7.2

EDTA 4.3 mmol/l

##### 3. Kumen Hidroperoksit: 0.18 mmol/l

##### 4. Sulandırma Ayıracı:

#### **Deneyin yapılışı**

GSH-Px enzim aktivitesi, Randox-Ransel enzim kitleri ile otoanalizörde 340 nm'de ultraviyole metotla  $37^\circ \text{C}$ ' de ölçüldü (71). Analiz materyali olarak, derin

dondurucuda muhafaza edilen eritrosit paketi kullanıldı. Analiz için eritrosit paketinden 10  $\mu$ l alındı. 2 ml sulandırma ayıracı ile sulandırıldı ( $F = 201$ ).

Küvete aşağıdaki ayıraçlar pipetlendi.

	<u>Ayıraç körü</u>	<u>Sulandırılmış örnek</u>
Sulan. Örnek	-----	15 $\mu$ l
Distile Su	15 $\mu$ l	-----
Ayıraç	750 $\mu$ l	750 $\mu$ l
Kumen	30 $\mu$ l	30 $\mu$ l

Küvetler karıştırlı, örnek ve körün absorbansları 1 dakika sonra okundu. Zaman başlatıldı, 1 ve 2 dakika sonra absorbanslar tekrar okundu. Dakika absorbans değişimi hesaplandı.

### **Hesaplama**

$$U/l \text{ Hemolizat} = 8412 \times \Delta A_{340 \text{ nm}} / \text{dakika.}$$

Örnek ve körün U/l tüm kan sonuçları hesaplanarak, örnek değeri (U/l), kör değerden (U/l) çıkartıldı. Örnek sonuç değeri (U/l), sulandırma faktörü ( $F = 201$ ) ile çarpıldı. Sonuçlar ml'ye çevrildi. Örnek GSH-Px aktivitesi, U/ml tüm kan biriminden hesaplandı.

### **3.2.3.5. Vitamin E tayini**

#### **Prensip**

Demir III iyonları serbest  $\alpha$ -tokoferol etkisiyle redüklenerken demir II iyonlarına dönüşürler. Bunların 2,4,6-tripiridil-s-triazinle oluşturdukları mavi-menekşe renkli kompleksin yoğunluğu spektrofotometrede 600 nm'de belirlenebilir (53).

#### **Ayıraçlar**

Ayıraçlar aşağıdaki gibi hazırlanmıştır.

1- Stok standart  $\alpha$ -tokoferol (200 mg/100 ml): 500 mg  $\alpha$ -tokoferol 250 ml'lik balonda absolut etanol ile eritilerek 250 ml işaretine kadar yine absolut etanol ile dolduruldu.

2-  $\alpha$ -tokoferol çalışma standarı (1 mg/100 ml): stok standardın 0.5 ml'si absolut etanol ile 100 ml'ye tamamlandı.

3- TPTZ (0.12 % W/V): 2,4,6-tripiridil-s-triazinin 0.12 g'i n-propanolde eritilip yine n-propanol ile 100 ml'ye tamamlandı.

4- Demir klorür (0.12 % W/V):  $\text{FeCl}_3 \cdot 6\text{H}_2\text{O}$ 'nun 0.12 g'i absolut etanolde eritildi ve absolut etanol ile 100 ml'ye tamamlandı.

### **Deneyin yapılışı**

Kapaklı cam test tüplerine 1 ml absolut etanol konuldu. Test tüplerine 1 ml serum, blank tüpüne 1 ml distile su ve standart tüpüne ise 1 ml çalışma standarı ilave edildi. Bütün tüplere 1 ml xylene ilave edilerek 30 sn şiddetlice çalkalandı. Tüpler 2500 rpm'de 5 dk santrifüj edildi. Üstteki xylene tabakasından (süpernatanttan) 0.5 ml alınarak hazırlanmış cam tüplere konuldu ve üzerine 0.5 ml TPTZ solüsyonundan ilave edildi. Karıştırıldıktan sonra 460 nm'de blank'a karşı ilk okuma yapıldı. Daha sonra tüplerimize 0.1 ml demir klorür çözeltisi eklenerek 600 nm'de blank'a karşı ikinci okuma yapıldı (53).

### **Hesaplama**

Hesaplama Martinek (53) formülüne göre yapıldı.

$$\text{Vit E (mg/100 ml)} = \frac{\text{Testin (O.D.)}_{600} - [0.40 \times \text{Testin (O.D.)}_{460}]}{\text{Standardın (O.D.)}_{600}}$$

Testin (O.D.)<sub>600</sub>: Testin 600 nm dalga boyunda okunan optik dansitesi.

Testin (O.D.)<sub>460</sub>: Testin 460 nm dalga boyunda okunan optik dansitesi.

0.040: Düzeltme faktörü.

Standart (O.D.)<sub>600</sub>: Standardın 600 nm'de okunan optik dansitesi (% 1 mg  $\alpha$ -tokoferol içeren).

### **3.2.4. İstatistiksel Analiz**

Sonuçlar ortalama  $\pm$  standart sapma şeklinde ifade edildi ve varyans analizi (ANOVA) kullanılarak analiz edildi. Ortalamalar arasındaki farklar Duncan testi kullanılarak tespit edildi ve  $P \leq 0.05$  istatistiksel farklılığı gösterdi (72).



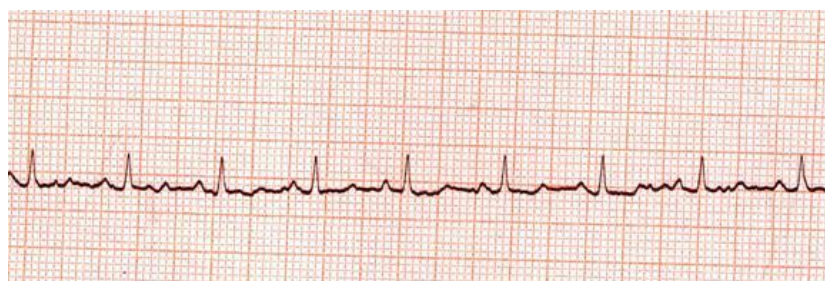
#### **4. BULGULAR**

Sudan çıkarıldiktan hemen sonra yapılan ölçümlerde kontrol, hipotermik ve vitamin E uygulanmış hipotermik grplarda bulunan kobayların rektal vücut ısları sırasıyla  $38.11\pm1.05$ ,  $23.77\pm2.68$  ve  $23.40\pm1.83$  olarak tespit edildi. Hipotermi oluşturulan grplarda vücut ıslısı önemli oranda azaldı ( $P\leq0.05$ ).

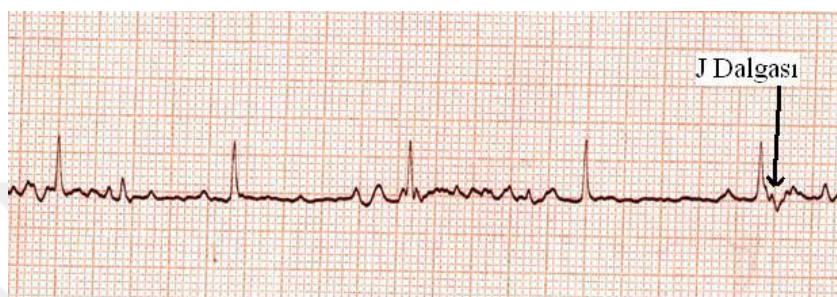
K ve Vit E+H gruplarının II. derivasyonlardan elde edilen tüm dalgaların boy ve sürelerine ait değerler tablo 1'de verilmiştir. Ayrıca K, H ve Vit E+H gruplarına ait EKG'de (II. derivasyon) oluşan tipik bulgular şekil 2'de gösterilmiştir. Kontrol grubunda yer alan kobayların II. derivasyonunda P dalgasının ortalama süresi 0.03 sn, ortalama amplitüdü ise 0.12 mV'du. QRS kompleksinin ortalama süresi 0.03 sn ve ortalama amplitüdü ise 0.50 mV'du. T dalgasının süresi 0.03, amplitüdü ise 0.10 mV'du. Hipotermik kobaylarda ise üçüncü derece atriovetriküler blok ve Osborn J dalgası (erken ventriküler repolarizasyon) EKG'de oluşan önemli bulguları. Vitamin E uygulanan hipotermik grupta ise bu değerlerden hiçbirinde kontrole göre farklılık olmadığı ( $P>0.05$ ) gözlandı.

Tablo 1. K ve Vit E+H gruplarından elde edilen II. derivasyonlara ait tüm dalgaların amplitüd ve süreleri. Değerler ortalama  $\pm$  standart sapma olarak ifade edilmiştir ( $n=10$ ).

Değerler	GURUPLAR	
	K	Vit E + H
P (sn)	$0.03 \pm 0.01$	$0.03 \pm 0.01$
P (mV)	$0.12 \pm 0.02$	$0.11 \pm 0.02$
QRS (sn)	$0.03 \pm 0.01$	$0.03 \pm 0.01$
QRS (mV)	$0.50 \pm 0.09$	$0.60 \pm 0.12$
T (sn)	$0.03 \pm 0.01$	$0.03 \pm 0.01$
T (mV)	$0.10 \pm 0.03$	$0.10 \pm 0.03$
P-R (sn)	$0.08 \pm 0.01$	$0.08 \pm 0.01$
Q-T (sn)	$0.12 \pm 0.02$	$0.12 \pm 0.02$



(a)



(b)



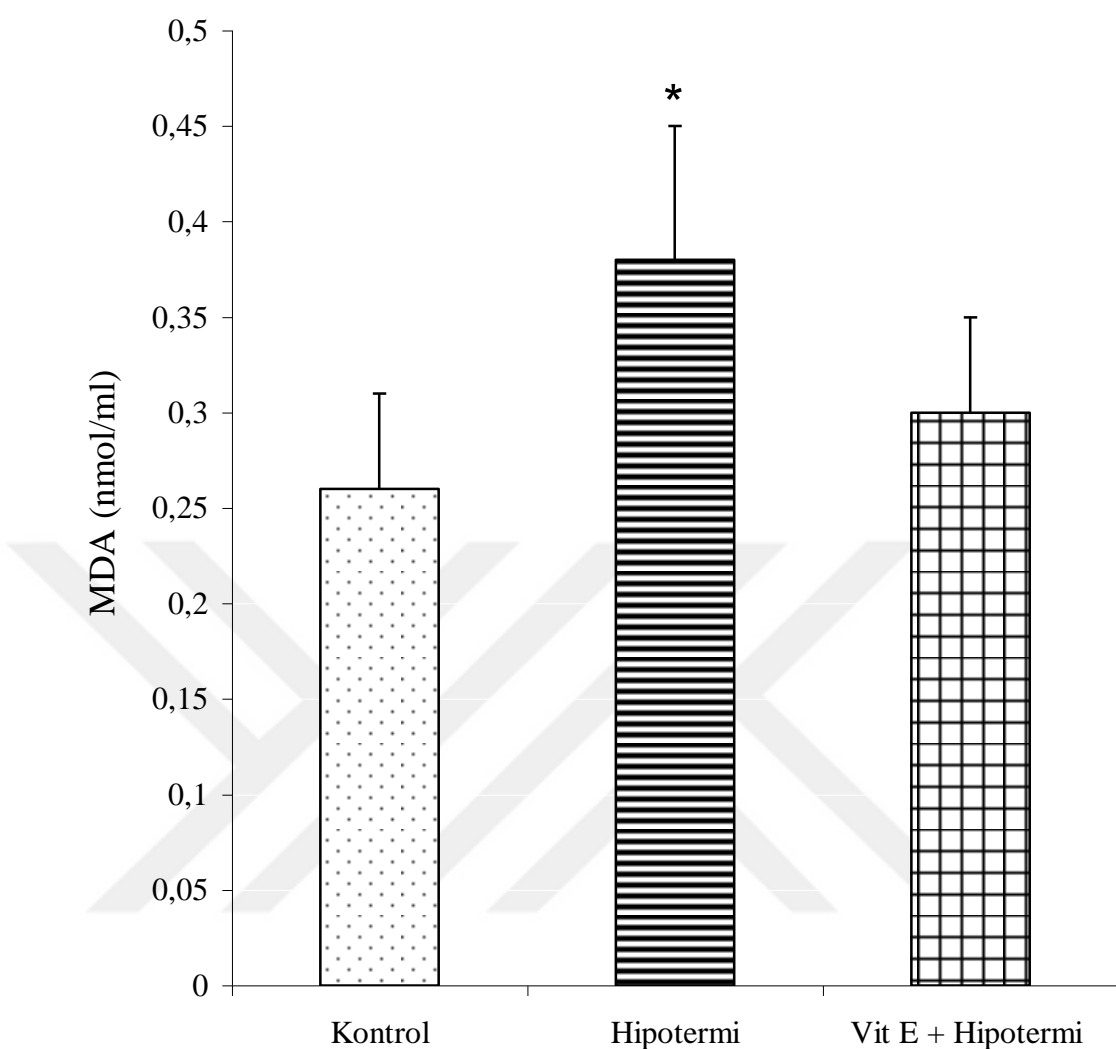
(c)

Şekil 2. K, H ve Vit E+H kobayların tipik II. derivasyon bulguları (Kağıt hızı; 50 mm/sn ve 1 mV = 10 mm). a) K, b) H, c) Vit E+H grup.

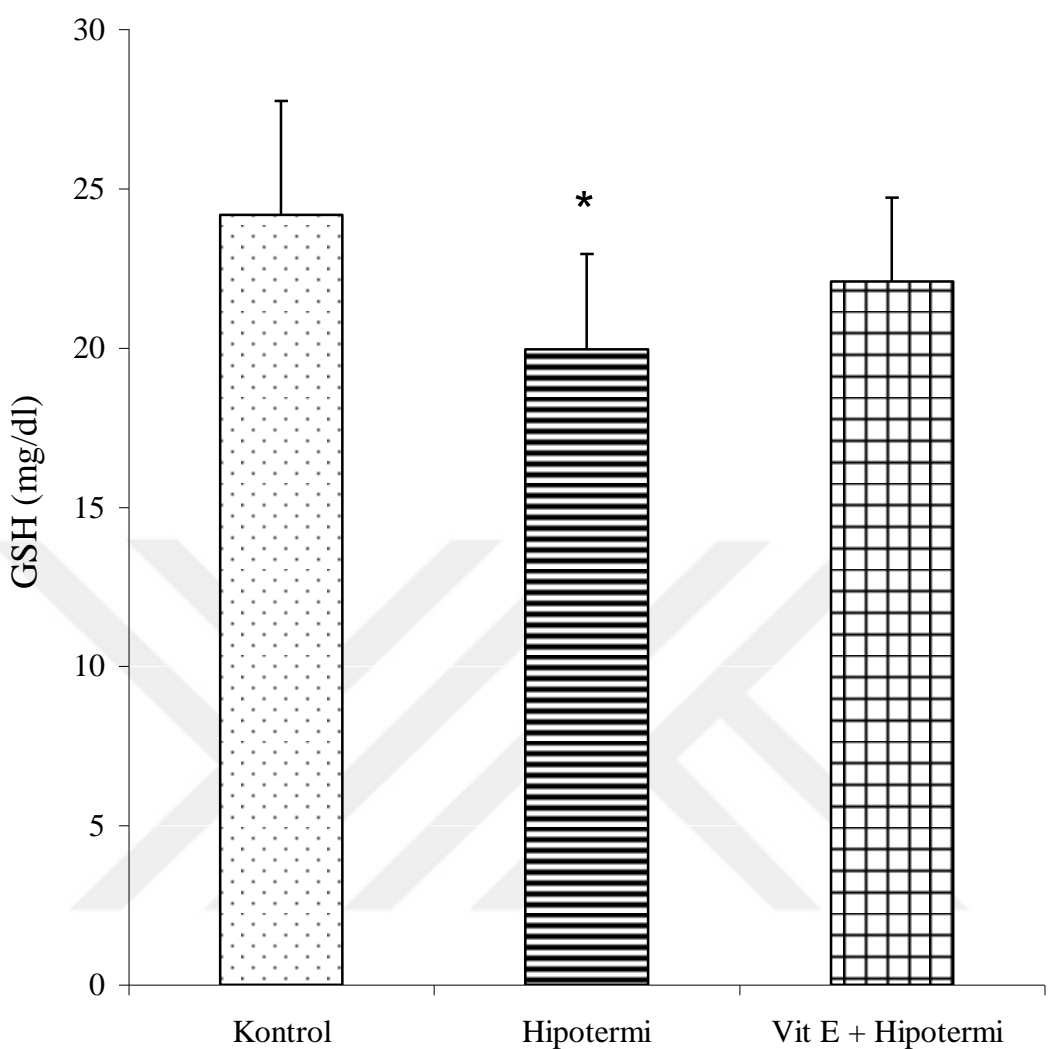
K, H, Vit E+H gruplarına ait MDA, GSH, SOD, GSH-Px ve vitamin E değerleri tablo 2'de verilmiş ve grafiksel olarak sırasıyla şekil 3, 4, 5, 6 ve 7'de gösterilmiştir. Hipotermi oluşturulan kobaylarda MDA düzeyinin önemli ölçüde arttığı ( $P \leq 0.05$ ), SOD aktivitesinin değişmediği, GSH, GSH-Px ve Vitamin E değerlerinin ise önemli ölçüde azadığı ( $P \leq 0.05$ ) görüldü. Vitamin E uygulanmış hipotermik grupta bulunan kobaylarda ise bu bulgular tamamen normaldi.

Tablo 2. K, H, Vit E+H gruplarına ait MDA, GSH, SOD, GSH-Px ve vitamin E değerleri. Değerler ortalama ± standart sapma olarak ifade edilmiştir (n=10).

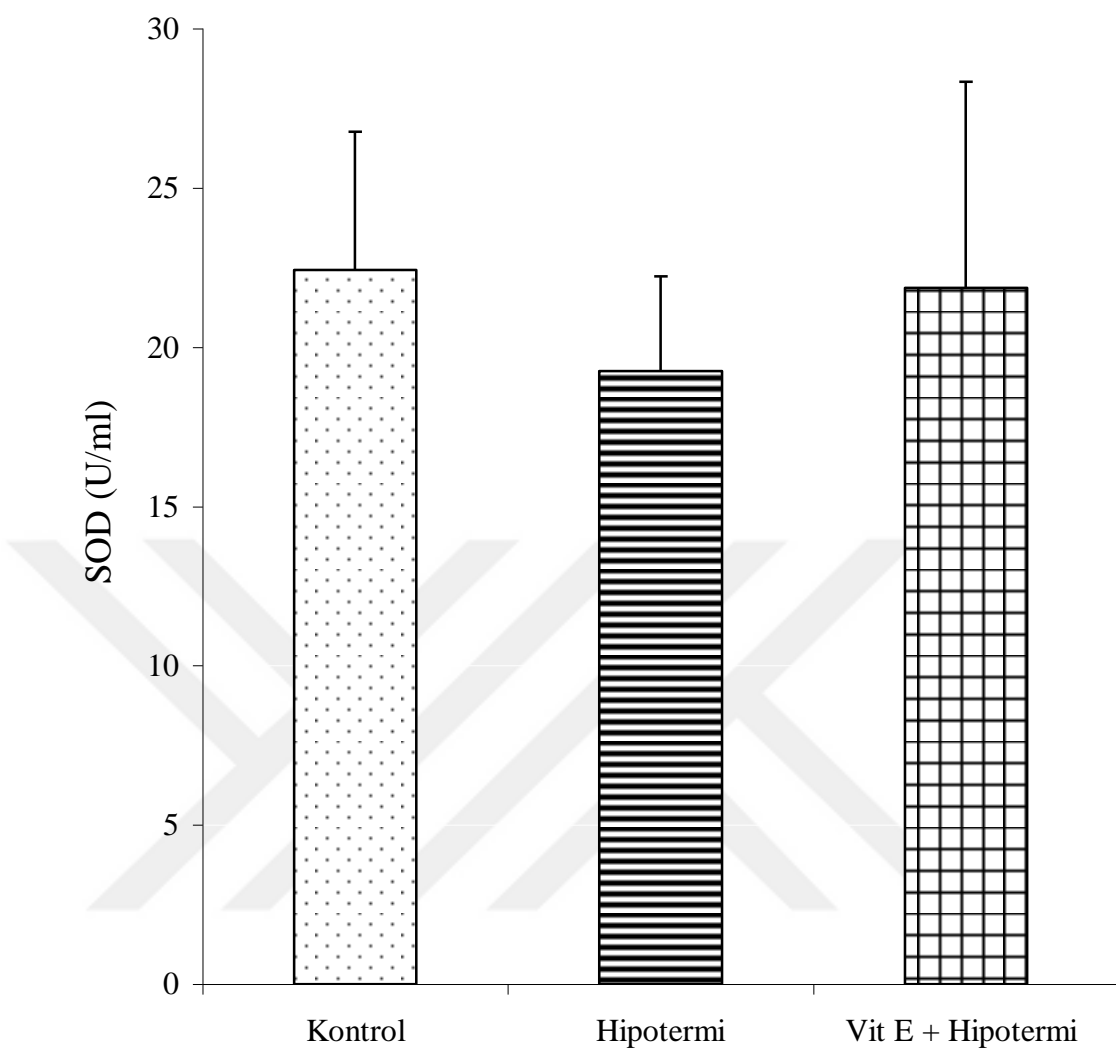
Değerler	GURUPLAR		
	K	H	Vit E + H
MDA (nmol/ml)	0.26 ± 0.05	0.38 ± 0.07	0.30 ± 0.05
GSH (mg/dl)	24.2 ± 3.57	19.9 ± 2.99	22.1 ± 2.63
SOD (U/ml)	22.4 ± 4.33	19.2 ± 2.94	21.8 ± 6.47
GSH-Px (U/ml)	37.7 ± 4.03	27.5 ± 4.58	31.1 ± 3.99
Vitamin E (mg/dl)	0.19 ± 0.01	0.14 ± 0.02	0.22 ± 0.03



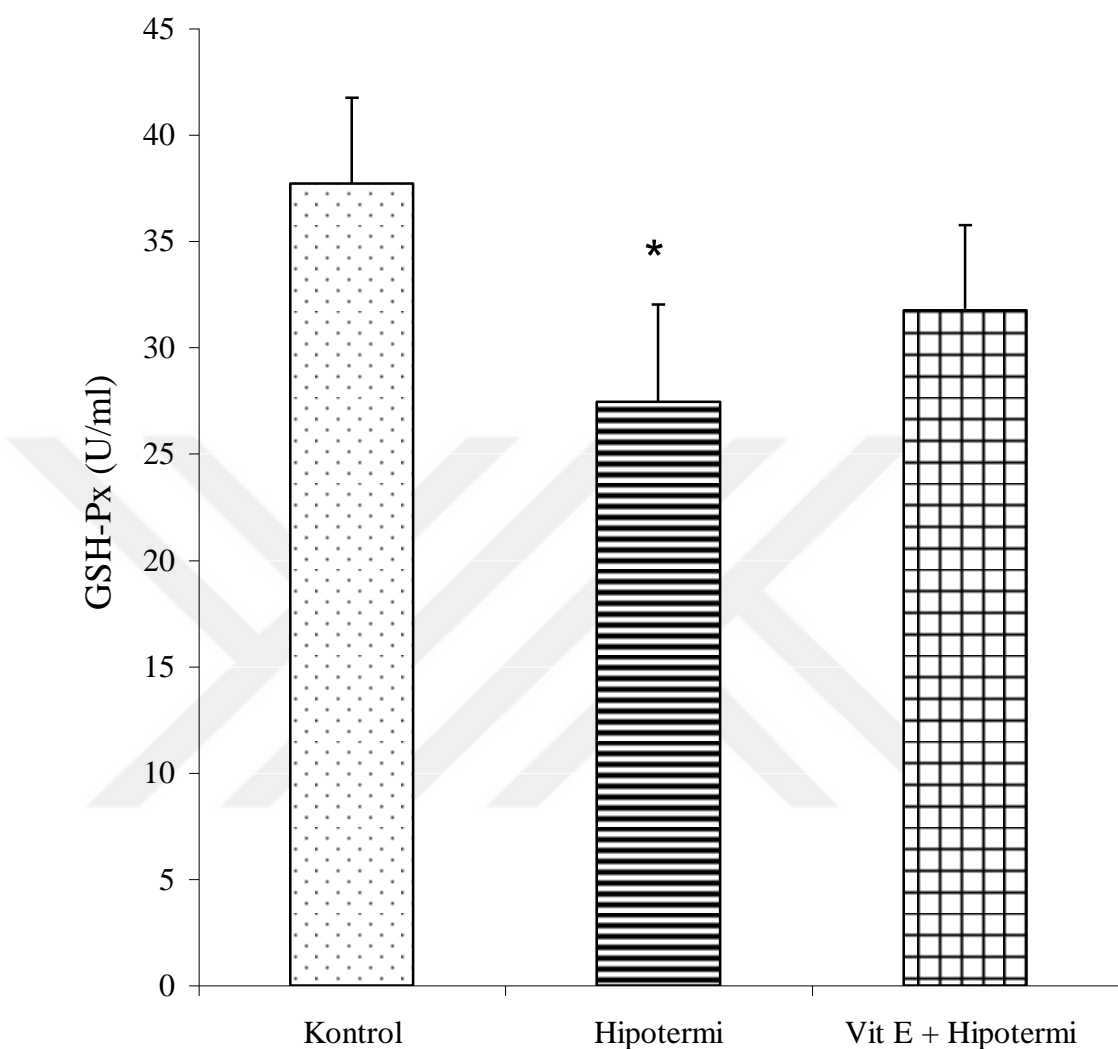
Şekil 3. K, H ve Vit E+H gruplarının MDA (nmol/ml) değerleri. Değerler ortalama ± standart sapma olarak ifade edilmiştir (n=10). \* Kontrol grubu ile deneme grubu arasındaki farkı ( $P \leq 0,05$ ) ifade etmektedir.



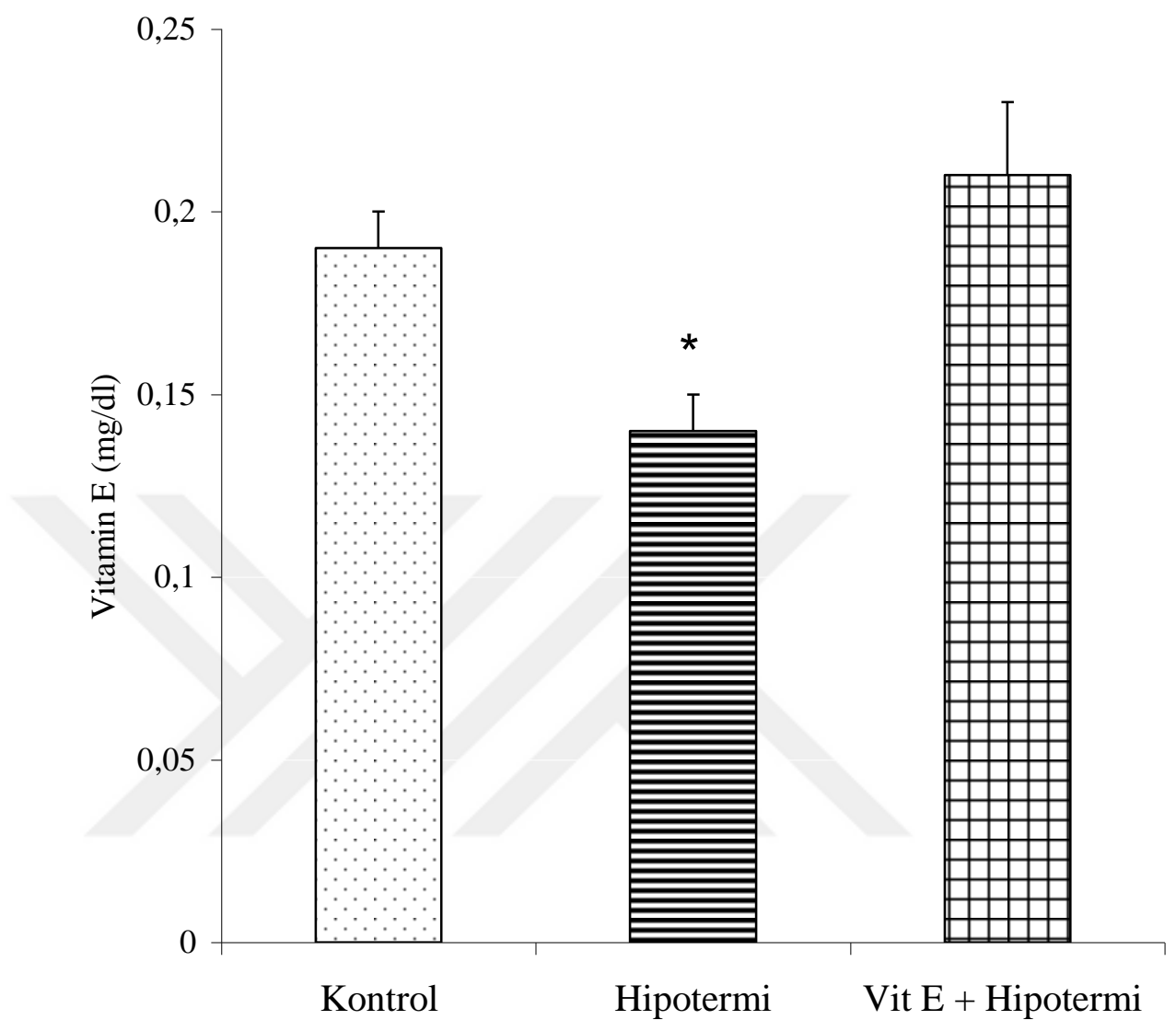
Şekil 4. K, H ve Vit E+H gruplarının GSH (mg/dl) değerleri. Değerler ortalama ± standart sapma olarak ifade edilmiştir (n=10). \* Kontrol grubu ile deneme grubu arasındaki farkı ( $P \leq 0.05$ ) ifade etmektedir.



Şekil 5. K, H ve Vit E+H gruplarının SOD (U/ml) değerleri. Değerler ortalama ± standart sapma olarak ifade edilmiştir (n=10).



Şekil 6. K, H ve Vit E+H gruplarının GSH-Px (U/ml) değerleri. Değerler ortalama ± standart sapma olarak ifade edilmiştir (n=10). \* Kontrol grubu ile deneme grubu arasındaki farkı ( $P \leq 0.05$ ) ifade etmektedir.



Şekil 7. K, H ve Vit E+H gruplarının vitamin E (mg/dl) değerleri. Değerler ortalama ± standart sapma olarak ifade edilmiştir (n=10). \* Kontrol grubu ile deneme grubu arasındaki farkı ( $P \leq 0,05$ ) ifade etmektedir.

## 5. TARTIŞMA VE SONUÇ

Bu çalışmada vitamin E uygulamasının deneysel olarak hipotermi oluşturulan kobaylarda EKG bulguları, kan lipit peroksidasyonu ve antioksidan enzim düzeyleri üzerine etkileri araştırıldı. Hipotermi vücut ısısının düşmesiyle ( $< 35^{\circ}\text{C}$ ) ortaya çıkan bir durumdur (7). Çalışmada soğuk su içerisinde tutulan kobayların vücut ısalarının kontrol grubuna göre önemli derecede azalması ( $< 24^{\circ}\text{C}$ ), hayvanlarda şiddetli bir hipotermisinin olduğunu gösterdi (8).

Vitamin E uygulanmayan hipotermik kobaylarda EKG bulguları olarak; üçüncü derece atrioventriküler blok ve Osborn J dalgası (erken ventriküler repolarizasyon) gözlendi. Bu sonuçlar daha önceki çalışmalarda elde edilen sonuçlara benzerlik göstermektedir. Alsafwah (11) 77 yaşındaki yaşlı bir bayanda hipotermi sonucu EKG'de görülen değişiklikleri; sinus bradikardisi, P-R ve Q-T aralığında uzama, idioventriküler ritm, T dalgasında değişiklikler ve J dalgası olarak belirtmiştir. Aynı şekilde Cheng (73) çalışmasında benzer bulguların yanı sıra kas titremesine bağlı olarak EKG'de oluşan anormalliklere de dikkat çekmiştir. Durakovic ve ark. (74) ise EKG'de oluşan değişikliklere ilaveten hipotermi durumunda; periferal vazokonstrüksiyon, hipoperfüzyon, hipoksi, kalbin dakika hacminde azalma ve sistemik kan basıncı düşme olduğunu belirtmiştir. Benzer şekilde Cheng (73) hipotermi ile ilgili yaptığı çalışmada  $37^{\circ}\text{C}$ 'de nabız basıncında artma,  $35^{\circ}\text{C}$ 'de periferal vasokonstrüksiyon,  $32^{\circ}\text{C}$ 'de supraventriküler aritmi,  $28^{\circ}\text{C}$ 'de ventriculer aritmi,  $22^{\circ}\text{C}$ 'de ventriküler fibrilasyon,  $18^{\circ}\text{C}$ 'de ise asistol durumlarının olduğunu ifade etmiştir.

Hafif hipotermi durumlarında sistemik uyarının artmasına bağlı olarak taşikardi oluşur. Ancak vücut ısısı  $32^{\circ}\text{C}$  nin altına düşerse sinüs bradikardisi şekillenir (11). Şiddetli hipotermi sonucu oluşan sinüs bradikardisinin nedeni olarak sodyum/potasium pompasının aktivetisinin ve buna bağlı olarak sino atrial düğümde oluşturulan uyarı sayısının azalması gösterilmiştir (11).

Hipotermi sonucu oluşan elektrokardiyografik değişikliklerden birisi olan J dalgası QRS kompleksinin terminalinde bir çıkıştı gibi durduğundan “deve hörgücü” olarak da isimlendirilir. Bu dalganın amplitüdü ve süresi vücut ısısının düşmesine parel olarak artar. J dalgası vücut ısısının  $35^{\circ}\text{C}$ 'nin altına indiği durumların % 80'inde

intraventriküler uyarının gecikmesine bağlı olarak görülür. Bu dalganın oluşum mekanizması kalp epikardiyal hücrelerinde bulunan potasyum kanallarının hipoksiye bağlı olarak normalden daha uzun süre açık kalması ile açıklanmıştır. Bu hücrelerin aksiyon potansiyellerinin süre ve amplitüdü endokardiyum hücrelerinkinden daha fazla olmasına ve dolayısıyla J dalgasının oluşumuna yol açmaktadır. Hipotermiye maruz kalan hastalar yeniden ısıtıldıklarında, potasyum kanallarının kapanma süresi kısalır, epikardiyal hücrelerin aksiyon potansiyelinin süre ve amplitüdü azalır ve dolayısıyla J dalgası zamanla ortadan kalkar (11). Cheng (73) hipotermi durumunda kalp hücrelerinde kalsiyum miktarının aşırı oranda arttığını, artan bu kalsiyumunun hücrelerde toksik etki yaparak depolarizasyon oranı ve uyarı iletiminde bozukluğa neden olduğunu ve dolayısıyla QRS kompleksinin süresinin uzadığını belirtmiştir.

EKG'deki değişikliklere ilave olarak hipotermi oluşturulan kobaylarda MDA değerinin önemli ölçüde arttığını, SOD değerinin değişmediği, GSH ve GSH-Px değerlerinin ise önemli ölçüde azaldığı tespit edildi. Yoğun literatür taraması yapılmış bu konuya ilgili canlı hayvanlar üzerinde yapılmış sadece bir çalışmaya rastlanılmıştır. Dede ve ark. (75) ratlar üzerinde yaptıkları çalışmada, sunulan çalışmaya benzer olarak hipotermi durumunda GSH değerinin azaldığını, MDA değerinin arttığını, SOD ve GSH-Px enzim düzeylerinin ise değişmediğini bildirmiştir. Hipotermi sonucu lipit peroksidasyonunda meydana gelen artmanın nedeni tam olarak ortaya konulamamıştır. Ancak hipoteminin reaktif oksijen türleri ve hidroksil radikallerini artırarak hücre membranı ve komponentlerinde hasar oluşturduğu ve dolayısıyla hücre ölümü ve serbest radikallerin oluşumuna neden olduğu ileri sürülmüştür (76).

Bu çalışma ile aynı zamanda GSH ve GSH-Px değerlerinin hipotermik kobaylarda önemli ölçüde azaldığını ortaya konulmuştur. Gradinski-Vrbanac ve ark. (77) hipoteminin glukoz ve pentoz fosfat yollarında etkili olan enzimlerin aktivitelerinde metabolik değişikliklere neden olduğunu ileri sürmüştür. G-6-PD enzimi pentoz fosfat yolundaki ilk basamağı katalize eder ve GSSG'nin GSH'a dönüşümünde gerekli olan NADPH'in oluşumunu sağlar (78). Dede ve ark (75) hipotermi durumunda G-6-PD enzim aktivitesinin önemli ölçüde azaldığını ortaya koymuşlardır. Bu nedenle, düşük bulunan GSH seviyesi G-6-PD enzim aktivitesi ve dolayısıyla NADPH oluşumundaki azalmaya bağlı olarak oluşmuş olabilir. Ancak GSH seviyesindeki

azalma ayrıca şu faktörlere bağlı olarak da şekillenebilir, 1) oksidasyon oranındaki artma; ve 2) lipit ve diğer peroksitlerin uzaklaştırılması için GSH kullanımının artması (75).

GSH-Px enzimi GSH'nın GSSG'ye dönüşümünü sağlar. Bu nedenle bu enzim aktivitesinin artması GSH'nın GSSG'ye oksidasyonunu artırır. Bu çalışmada hipotermik (vücut ısısı < 24 °C) kobaylarda GSH-Px enzim aktivitesinin önemli derecede azaldığı tesbit edilmiştir. Ancak Dede ve ark (75), yaptıkları çalışmada orta şiddetli (vücut ısısı 28 °C) hipotermik ratların GSH-Px enzim aktivitesinin değişmediğini ileri sürmüşlerdir. Elde edilen farklı sonucun vücut ısısındaki farklılıktan kaynaklandığı düşünülmektedir. GSH-Px enzim aktivitesinin hipotermik kobaylarda düşük bulunmasına rağmen GSH seviyesinin de düşük olması, hipotermi sırasında GSH kullanımının arttığı fikrini güçlendirmektedir.

SOD enzimi hücrenin sitoplazma ve mitokondrisinde lokalize olur (78). Dolayısıyla bu çalışmada SOD enzim aktivitesinde değişiklik görülmemesi, oluşturulan hipotermisin hücre membranında hasar meydana getirerek MDA seviyesini artırdığı, ancak mitokondri gibi hücre komponentlerine etki etmediğini göstermektedir.

Vücut ısısı aynen hipotermik kobaylarda olduğu gibi 24 °C'nin altında olmasına rağmen, hipotermik kobaylarda görülen ve yukarıda belirtilen değişikliklerin hiç biri vitamin E uygulanan kobaylarda görülmedi. Çok güçlü bir antioksidan olan vitamin E, hücre membran fosfolipidlerinde bulunan çok sayıda doymamış bağ içeren yağ asitlerini serbest radikal etkisinden koruyarak vücutun ilk savunma hattını oluşturur. Vitamin E, süperoksit ve hidroksil radikallerini, singlet oksijeni, lipid peroksit ve radikallerini ve diğer radikal örneklerini indirger (19, 30, 79, 80). Vitamin E aynı zamanda önemli biyolojik membranların yapı maddesidir (81). Vitamin E konsantrasyonu ile lipit peroksidasyonu arasında tersine bir korelasyon vardır (82). Örneğin vücutta antioksidan vitamin konsantrasyonu azaldığı zaman hücre membranında hasara yol açan plazma lipit peroksidasyonu artar (81, 82, 83). Sunulan çalışmada da vitamin E uygulanan hipotermik kobaylarda MDA seviyesinde azalma görülmüştür.

GSH-Px enzimi ile vitamin E'nin serbest radikallere karşı etkileri birbirlerini tamamlayıcı yöndedir. GSH-Px oluşan peroksitleri ortadan kaldırırken vitamin E

peroksitlerin sentezini engeller (19) . Hidrojen peroksit ( $H_2O_2$ ) ve organik peroksitler ( $R-O-OH$ ) lipit peroksidasyonu ve dolayısıyla hücrenin yıkımı üzerine etkilidirler. Her iki peroksit de GSH-Px etkisi ile suya ve alkollere redüklendirken, membran lipitlerinin otooksidasyon yoluyla organik peroksitleri şekillendirmesi, vitamin E tarafından önlenir. Oksitlenmeye karşı çok duyarlı olan doymamış yağ asitleri enerji temininden ziyade hücre membranın yapısında bulunurlar (31) .

Bu çalışmada ayrıca hipotermik kobaylarda EKG'de görülen değişikliklerin hiç birinin vitamin E uygulanan kobaylarda görülmediği tespit edildi. Vitamin E'nin kalp üzerindeki koruyucu etkisi birçok araştırmacı tarafından incelenmiştir. Sethi ve ark (84) vitamin E'nin kalp aritmileri ve fonksiyon bozuklukları üzerine etkilerini araştırmışlar, vitamin E'nin oksidatif stresi azaltarak kalp üzerinde koruyucu etki yaptığı savunmuşlardır. Serbest radikaller iskemik miyokardiyal hasara ve buna bağlı olarak hücre membranlarının elektriksel özelliklerinde değişikliğe yol açarlar (85). Kalp kası hücre membranının elektriksel özelliğinin değişmesi membranda bulunan iyon kanalları ve pompalarının aktivitelerini etkileyerek EKG'de birtakım değişikliklere neden olur. Hipotermi durumunda artan serbest radikallerin EKG'de ne tür değişikliklere neden olduğu ve bu değişikliklerin sebeplerinden daha önce bahsedildi. Bu çalışmada elde edilen sonuca benzer olarak vitamin C ve E gibi antioksidan vitamin uygulamalarının akut miyokardiyal bozukluklarda EKG'de oluşan değişiklikleri tamamen düzelttiği belirtilmiştir (85). Vitamin E, bu etkisini büyük bir olasılıkla serbest radikallerin hücre membranın elektriksel özelliği üzerine yaptığı olumsuz etkiyi gidererek göstermektedir.

Sonuç olarak deneysel hipotermi oluşturulan kobaylarda EKG bulgularında üçüncü derece atriovetriküler blok ve Osborn J dalgası (erken ventriküler repolarizasyon) olduğu, MDA değerinin önemli ölçüde arttığı, SOD değerinin değişmediği, GSH, GSH-Px ve vitamin E değerlerinin ise önemli ölçüde azaldığı görüldü. Deneysel hipotermi oluşturmadan önce uygulanan vitamin E'nin ise hipotermisinin oluşturduğu tüm bu değişiklikleri önlediği tespit edildi.

## ÖZET

**Aslan L, Vitamin E'nin Hipotermik Kobaylarda EKG, Serum Lipit Peroksidasyonu ve Antioksidan Enzim Düzeyleri Üzerine Etkisi, Yüzüncü Yıl Üniversitesi, Sağlık Bilimleri Enstitüsü, Fizyoloji Anabilim Dalı, Yüksek Lisans Tezi, Van, 2004.** Bu çalışmada vitamin E uygulamasının deneysel olarak hipotermi oluşturulan kobaylarda elektrokardiyogram (EKG) bulguları, serum lipit peroksidasyonu ve antioksidan enzim düzeyleri üzerine etkileri araştırıldı. Araştırmada 500-800 gr ağırlığında 30 adet sağlıklı erkek kobay (guinea pig) kullanıldı. Bir haftalık adaptasyon süresinden sonra, kobaylar her bir grupta 10 adet olacak şekilde kontrol (K), hipotermik (H) ve vitamin E uygulanan hipotermik (Vit E+H) olmak üzere 3 deneme grubuna ayrıldı. Analizler yapılmadan önce Vit E+H grubundaki kobaylara oral olarak 4 gün boyunca 460 mg/kg vitamin E verildi. Diğer iki gruba (K ve H) vitamin E verilmedi. Son vitamin E uygulamasından 24 saat sonra H ve Vit E+H gruplarında yer alan kobaylar herhangi bir anestezik veya tarankilizan madde verilmeden boyunlarının üst kısmına kadar soğuk su ( $10-12^{\circ}\text{C}$ ) içerisinde sokuldular ve 5 dakika soğuk su içerisinde tutuldular. Kontrol grubundaki kobaylar ise aynı yöntemle vücut ısısındaki ( $37^{\circ}\text{C}$ ) su içerisinde 5 dakika tutuldular. Su içerisinde çıkarılan kobayların rektal vücut ısları termometre ile ölçüldü ve EKG'leri çekildi. EKG çekimini takiben malondialdehit (MDA) süperoksit dismutaz (SOD), glutatyon peroksidaz (GSH-Px) ve redükte glutatyon (GSH) tayini için eter ile anestezi edilen hayvanların kalbinden biri EDTA'lı olmak üzere iki plastik tüpe kan örnekleri alındı. Hipotermi oluşturulan grupta vücut ısısı önemli oranda azaldı. Üçüncü derece atriovetriküler blok ve Osborn J dalgası (erken ventriküler repolarizasyon) şekillendi. Ayrıca bu kobaylarda MDA değerinin önemli ölçüde arttığı, SOD değerinin değişmediği, GSH ve GSH-Px değerlerinin ise önemli ölçüde azaldığı görüldü. Vitamin E uygullanmış hipotermik grupta bulunan kobaylarda vücut ısısı önemli derecede düşmesine rağmen, hipotermi grubunda gözlenen bulgulara bu grupta rastlanmadı. Böylece, vitamin E'nin hipotermisinin oluşturduğu lipit peroksidasyonunu ve EKG'deki değişiklikleri önlediği, ve ayrıca antioksidan savunma sistemini güçlendirdiği sonucuna varıldı.

**Anahtar Sözcükler:** Antioksidanlar, EKG, hipotermi, lipit peroksidasyon, vitamin E.

## SUMMARY

**Aslan L, Effect of vitamin E on ECG, blood lipid peroxidation and antioxidant enzyme activity in experimentally-induced hypothermic guinea-pigs, University of Yuzuncu Yil, Health Sciences Institute, MSc Thesis in the Department of Physiology, Van, 2004.** This study was carried out to determine the effects of vitamin E treatment on electrocardiogram (ECG), blood lipid peroxidation and antioxidant enzyme activity in experimentally-induced hypothermic guinea-pigs. Thirty healthy male guinea-pigs, weighing 500-800 g were used. After one week of adaptation period, guinea-pigs were randomly divided into three experimental groups: control (C), hypothermic (H) and vitamin E-treated hypothermic (Vit E+H), each containing 10 animals. Guinea-pigs in Vit E+H group were given orally 460 mg/kg vitamin E for four days before hypothermia induction. Twenty four hours after the last vitamin E treatment, guinea-pigs in H and Vit E+H groups were cooled by immersion into cold water (10-12 °C), and the control rats were immersed into water of body temperature (37 °C) up to the neck without using any anesthetic or tranquilizer for 5 minutes. Immediately after the cooling, rectal body temperatures were measured and ECG recordings were made. After the ECG recording, blood samples for the measurements of malondialdehyde (MDA) and glutathione (GSH) levels, and superoxide dismutase (SOD) and glutathione peroxidase (GSH-Px) enzyme activities were collected into heparinized and non-heparinized test tubes by cardiac puncture under an ether anesthesia. In hypothermic group, body temperature decreased significantly. Complete heart block and J wave were observed as ECG findings. In addition, MDA level was higher, SOD level was un-changed, and GSH level and GSH-Px enzyme activity were lower in hypothermic group. Although body temperature was significantly lower in vitamin E treated hypothermic guinea-pigs, findings observed in hypothermic group were not observed in this group. Thus, it was concluded that vitamin E treatment might prevent the hypothermia-induced lipid peroxidation and alterations in ECG, and increase the activity of antioxidant defense system.

**Key Words:** Antioxidants, ECG, hypothermia, lipid peroxidation, vitamin E.

## KAYNAKLAR

1. Kirkpatrick AW, Chun R, Brown R and Simons RK (1999). Hypothermia and the trauma patient, *Can. J. Surg.*, 42, 333-343.
2. Zhang F, Salley R, Wu G and Chien S (1994). Effect of glutathione on hypothermic lung preservation, *Acta Biomed. Ateneo Parmense*, 65, 199-211.
3. Rauen U and Groot H (1998). Cold-induced release of reactive oxygen species as a decisive mediator of hypothermia injury to cultured liver cells, *Free Radic. Biol. Med.*, 24, 1316-1323.
4. Erenel G, Erbaş D ve Arıcıoğlu A (1992). Serbest radikaller ve antioksidan sistemler, *Gazi Tip Derg.*, 3, 243 - 250.
5. Murray RK, Mayes AA, Granner DK and Rodwell VW (1993). Harper's Biochemistry, Çevirim Menteş G and Ersöz B, Barış Printing House, İstanbul, 183.
6. Yaman K (1999). Fizyoloji, Vipaş Yayıncılık, Bursa.
7. Mackenzia MA, Aengevaeren WRM, Hermus RMM, Werf T, Pieters FFM, Smals GH and Kloppenborg WC (1992). Electrocardiographic changes during steady mild hypothermia and normothermia in patients with poikilothermia. *Clinical Science*, 82, 39-45.
8. Anonim (2003). <http://mustafayildiz.8m.com>.
9. Yılmaz B (2000). Fizyoloji, Feryal Matbaacılık, Ankara.
10. Anonim (2004). <http://www.ato.org.tr/konuk/austun/KY/Ekg.html>.
11. Alsafrwan S (2001). Electrocardiographic changes in hypothermia, *Heart Lung*, 30, 2, 161-163.
12. Patel A, Getsos JP, Moussa G and Damato AN (1994). The Osborn wave of hypothermia in normothermic patients, *Clin. Cardiol.*, 17, 273-276.
13. Bashour TT, Gualberto A and Ryan C (1989). Atrioventricular block in accidental hypothermia a case report, *Angiology*, 40, 63-66.
14. Yan G-X and Antzelevitch C (1996). Cellular basis for the electrocardiographic J wave, *Circulation*, 93, 372-379
15. Nakayama T and Fozzard H (1998). Adrenergic modulation of the transient outward current in isolated canine purkinje cells, *Circ. Res.*, 62, 162-172.
16. Özdemir G (1993). Reaktif Oksijen Partikülleri (ROP) oksidan molekülleri, serbest radikaller, Roche Bilimsel Eserleri Serisi.

17. Reilly PM, Schiller HJ and Bulkley GB (1991). Pharmacologic approach to tissue injury mediated by free radicals and other reactive oxygen metabolites *Am. J. Surg.*, 161,488.
18. Kavas GÖ (1989). Serbest radikaller ve organizma üzerine etkileri, *Türkiye Klin. Derg.*, 9, 1, 1-8.
19. Aslan R, Şekeroğlu MR ve Bayiroğlu F (1995). Serbest radikal türlerinin membran lipit peroksidasyonuna etkileri ve hücresel antioksidan savunma, *Y.Y.U. Sağ. Bil. Derg.*, 2, 137-142.
20. Moslen MT (1994). Reactive oxygen species in normal physiology, cell injury and phagocytosis, Free radicals in diagnostic medicine, Ed: D. Armstrong, Plenum Press, New York, 1-15.
21. Slater TF (1984). Overview of methods for detecting lipid peroxidation, *Methods in Enzymology*, 105, 283-305.
22. Niki E (1987). Antioxidant in relation to lipid peroxidation, *Chem. Phy. Lipids* 44, 227-253.
23. Porter NA (1984). Chemistry of lipid peroxidation, *Methods in Enzymology*, 105, 273-283.
24. Thomas M (1995). The role of free radicals and antioxidants, how do we know that they are working, *Food Science and Nutrition*, 35, 1, 21-39.
25. İsbir T (1994). Antioksidan Sistemler In: Endotel, İzmir Tabip Odası,Tİpta Temel Bilimler Kolu, Sonbahar Okulu, İzmir Ekim, 92-98.
26. Freeman BA and Cropo JD (1982). Free radicals and tissue injury, *Lab. Invest.*, 47, 412-426.
27. Hopkins J and Tudhope GR (1973). Glutathione peroxidase in human red cell in health and disease, *British J. Hematol.*, 25, 563-566.
28. Wernes SW, Shea MJ and Lucchesi BR (1986). Free radicals and myocardial injury, Pharmacologic Implications, *Circulation*, 74, 1, 1-5.
29. Mayes PA (1993). Lipids of Physiologic Significance, In Harper's Biochemistry, Ed: RK Murray, DK Granner, AA Mayes and VW Radwell, Lange Medical Publication London, 23<sup>nd</sup> Ed., 142-153, 588-598.
30. Cheeseman KH and Slater TF (1993). An introduction to free radical biochemistry, *Br. Med. Bul.*, 49, 3, 479-493.
31. Nizamlıoğlu M and Tiftik AM (1992). The relation of glutathione peroxidase (GSH-P<sub>x</sub>) enzyme activity with vitamin E and selenium, *Türk Vet. Hek. Derg.*, 4, 1, 10-13.

32. Ersoy E ve Bayış N (1986). Biyokimya, Ankara Üniversitesi, Veteriner Fakültesi Yayınları, Ankara.
33. Spallholz JE (1990). Selenium and glutathione peroxidase essential nutrient and antioxidant component of the immune system, *Antioxidant Nutrients and Immune Function*, 262, 145-158.
34. Tucker EM (1976). Some physiological aspects of genetic variation in the blood of sheep, *Anim. Blood Grps. Biochem. Genet.*, 7, 207-217.
35. Shan X, Aw TY and Jonei DO (1990). Glutathione-dependent protection against oxidative injury, *Pharmac. Ther.*, 47, 61-71.
36. Tucker EM (1981). Genetic variation in the sheep red blood cell, *Biol. Rev.*, 46, 341-386.
37. Kalaycıoğlu L (1984). Konya zootekni araştırma enstitüsü merinos koyunlarında eritrosit glutatyon değerleri üzerinde araştırmalar, *Selçuk Ünv. Vet. Fak. Derg.*, 141-147.
38. Flether RH and Flether SW (1994). Glutathione and aging ideas and evidence, *The Lancet*, 8934, 1379.
39. Meister A and Anderson ME (1983). Glutathione, *Ann. Rev. Biochem.*, 52, 711-760.
40. Yagi K (1994). Lipid Peroxidase and Related Radicals in Clinical Medicine, Free Radicals in Diagnostic Medicine Ed: D Armstrong, Plenum Press, New York.
41. Sinclair AJ, Bennett AH and Junec J (1990). Free radicals and antioxidant systems in health and disease, *British J. Hosp. Med.*, 43, 334-344.
42. Janssen YMW, Houten BV, Borm PJA and Mossman BT (1993). Biology of disease cell and tissue responses to oxidative damage, *Lab. Invest.*, 69, 3, 261-274.
43. Dormandy TL (1983). An approach to free radicals, *The Lancet*, 29, 1010-1014.
44. Akkuş İ (1995). Serbest Radikaller ve Fizyopatolojik Etkileri, Mimoza Yayınları, Konya.
45. Aliakber S, Brown PR and Bidwell DE (1993). Human erythrocyte superoxide dismutase in adults neonates and normal, hypoxicemic, anemic and chromosomally abnormal fetuses, *Clin. Biochem.*, 26, 109-113.
46. Zheng Xiu-Mer and Ellis EF (1990). Superoxide dismutase reduces permeability and Induced by hypertension in rats, *Am. J. Physiol*, 259, 479-503.
47. Erden M (1992). Serbeset radikaller, *T. Klin. Tip Bilimleri Dergisi*, 12, 201-207.

48. Stryer L (1988). Biosynthesis of Amino Acids and Heme In Biochemistry, 3<sup>nd</sup> Ed., WH Freemen and company, New York, 575-600.
49. Kalaycıoğlu L, Serpek B, Nizamlıoğlu M, Başpinar N ve Tiftik AM (2000). Biyokimya, 2. Baskı, Nobel Yayınevi, Ankara.
50. Karagül H, Altıntaş A, Fidancı UR ve Sel T (2000). Klinik Biyokimya, Medisan, Ankara.
51. Tip S ve Top Ş (1993). E vitamininin kanser ve kardiovasküler hastalıklarla ilişkisi, *T. Klinik Tip Bilimleri Dergisi*, 13,288-289.
52. Lunce J and Blake D (1990). Oxygen Free Radicals, Their Relevance to Disease Processes In “The Metabolic and Molecular Basis of Acquired Disease” Ed: RD Cohen, B Lewis KG Albert MM, Balliere Tindall, London, 189-212.
53. Yaşař S (2003). Floryozisli koyunlarda vitamin ve mineral düzeylerinin incelenmesi, Y.YÜ. Sağlık Bilimleri Enstitüsü, Biyokimya Anabilim Dalı Yüksek Lisans Tezi, Van.
54. Clarkson PM (1995). Antioxidants and physical performance, critical reviews, *Food Science and Nutrition*, 1-2, 35, 131-141.
55. Dündar Y ve Aslan R (2000). Hekimlikte Oksidatif Stres ve Antioksidanlar, Afyon Kocatepe Üniversitesi Yayınları, Afyon.
56. Stompfer MJ, Hennekens CH and Manson JE (1993). Vitamin E consumption and the risk of coronary disease in women, *The New England Journal of Medicine*, 328, 20, 1444-1449.
57. Kessep M and Hamliri A (1986). Experimental fluorosis in sheep alleviating effects of aluminum, *Vet. Hum. Toxicol.*, 28, 4, 300-304.
58. Mert N, Bildik A, Ertekin A ve Dede S (1999). Biyokimya, Y.YÜ. Veteriner Fakültesi Yayınları, Van.
59. Packer L and Landvik S (1990). Vitamin E in Biological Systems as Antioxidants in Therapy and Preventive Medicine, Ed: I Emerit, L Packer and A Clair, Plenum Press, New York, 93-103.
60. Umegaki K, Sano M, Suzuki K, Tomita I and Esashi T, Increases in 4-hydroxyenenal and hexanal in bone marrow of rats subject to total body X-ray irritation association with antioxidant vitamins, *Bone Marrow Transplantation*, 23, 173-178
61. Doğan İ, (2002). Floryozisli koyunlarda antioksidan maddelerin incelenmesi, Yüzüncü Yıl Univ., Sağlık Bilimleri Ens., Biyokimya Anabilim Dalı Y.Lisans Tezi.

62. Beutler E, Dubon O and Kelly BM (1963). Improved method for the determination of blood glutathione, *J. Lab. Clin. Med.*, 61, 882-888.
63. Rizzi R, Caroli A, Bolla P, Acciaioli A and Pagnacco G (1988). Variability of reduced glutathione levels in masseuse ewes and its effect on daily milk production, *J. Dairy Research*, 55, 345-353.
64. Gutteridge JM (1994). Lipid peroxidation and antioxidants as biomarkers of tissue damage, *Clin. Chem.*, 41, 12, 1819-1995.
65. Sushil JK, Mcuie R, Duett J and Herbest JJ (1989). Erythrocyte membrane lipid peroxidation and glycosylated hemoglobin in diabetes, *Diabetes*, 38, 1539-1543.
66. Xia E, Rao G, Remmen HV, Heydari AR and Richardson A (1994). Activities of antioxidant enzymes in various tissues of male fischer 344 rats are altered by food restriction, *J. Nutr.*, 125., 195-201.
67. Flohe L and Otting F (1984). Superoxide dismutase assays, *Methods in Enzymology*, 105, 93-104.
68. Anonymous (1996). Superoxide Dismutase Kit, Randox Lab. Ltd., U.K.
69. Paglia DE and Valentine WN (1967). Studies on the quantitative an qualitative characterization of erythrocyte glutathione peroxidase, *J. Lab. Clin. Med.*, 70, 1, 158-168.
70. Flohe L and Gunzler WA (1984). Assays of glutathione peroxidase, *Methods in Enzymology*, 105, 114-115.
71. Anonymous (1997). Glutathione Peroxidase Enzyme Kiti, Randox Lab. Ltd., U.K.
72. Hayran M ve Özdemir O (1996). Bilgisayar İstatistik ve Tıp, Hekimler Yayın Birliği, Medikomat, Ankara.
73. Cheng MD (2002). The ECG of hypothermia, *Journal of Emergency Medicine*, 22, 87-91.
74. Durakovic Z, Durakovic MM and Corovic N (2001). Q-T and J-T dispersion in the elderly with urban hypothermia, *International Journal of Cardiology*, 80, 2-3.
75. Dede S, Değer Y and Meral I (2002) .Effect of short-term hypothermia on lipid peroxidation and antioxidant enzyme activity in rats, *J. Vet. Med. A*, 49, 286-288.
76. L'Vova SP, Garbunova TF and Abaeva EM (1993). The effect of hypothermia and dalargin on lipid peroxidation in rat tissues, *J. Vopr. Med. Khim.*, 39, 21-24.
77. Gradinski Vrbanac B, Millinkovic-Tur S, Emanovic D, Stojevic Z and Penavic V (1993). Glutathione and lipid peroxidation in blood and glucose-6-phosphate dehydrogenase activity in red blood cells of chickens during hypothermia and posthypothermia, *Vet. Arhiv*, 63, 155-160.

78. Fridovich I (1995). Superoxide dismutases, *Ann. Rev. Biochem.*, 64, 97-12.
79. Horwitt MK (1965). Role of vitamin E, selenium and polyunsaturated fatty acids in clinical and experimental muscle diseases, *Fed. Proc.*, 24, 68-72.
80. Frei B (1994). Reactive oxygen species and antioxidant vitamins, mechanism of action, *Am. J. Med.*, 97, 5-12.
81. Gallo-Torres DC (1980). Absorption Blood Transport and Metabolism of Vitamin E. Ed: Maclin L, A Comprehensive Treatise, J. Marcel Dekker, New York, 170-276.
82. Kornburst DJ and Mavis RD (1980). Relative susceptibility of microsomes from lung, heart, liver, kidney, brain and testes to lipid peroxidation, correlation with vitamin E content, *Lipids*, 15, 315-320.
83. McDowell LR (1989). Vitamins in animal nutrition – comparative aspects to human nutrition, vitamin A and E, LR McDowell, Ed, *Academic*, London, 10-52, 93-131.
84. Sethi R, Takeda N, Nagano M and Dhalla NS (2000). Beneficial effects of vitamin E treatment in acute myocardial infarction, *J. Cardiovascular Pharmacol. Ther.*, 5, 51-8.
85. Chamiec T, Herbaczynska- Cedro K and Ceremuzynski L (1996). Effects of antioxidant vitamins C and E on signal-averaged electrocardiogram in acute myocardial infarction, *Am. J. Cardiol*, 77, 4, 237-41.

## **ÖZGEÇMİŞ**

1979 yılında Elazığ'da doğdu. İlk, orta ve lise öğrenimini Elazığ'da tamamladı. 1995 yılında Fırat Üniversitesi, Veteriner Fakültesini kazandı ve 2000 yılında mezun oldu. 2001 yılında Yüzüncüyıl Üniversitesi, Sağlık Bilimleri Enstitüsüne bağlı olan Veteriner Fakültesi, Fizyoloji Anabilim Dalında Yüksek Lisans öğrenimine başladı. 25 Aralık 2003 tarihinde Veteriner Fakültesi, Fizyoloji Anabilim Dalında açılan Araştırma Görevlisi sınavını kazandı. Halen Fizyoloji Anabilim Dalında Araştırma Görevlisi olarak görevini sürdürmektedir.

